

# Géométrie asymptotique sous-linéaire

## Hyperbolicité, auto-similarité, invariants

Gabriel Pallier

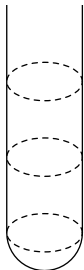
Ecole doctorale mathématiques Hadamard, Orsay.  
2 septembre 2019



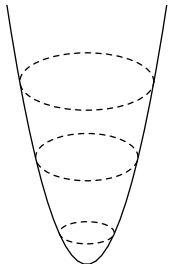
# Géométrie asymptotique



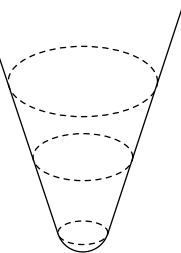
A



B

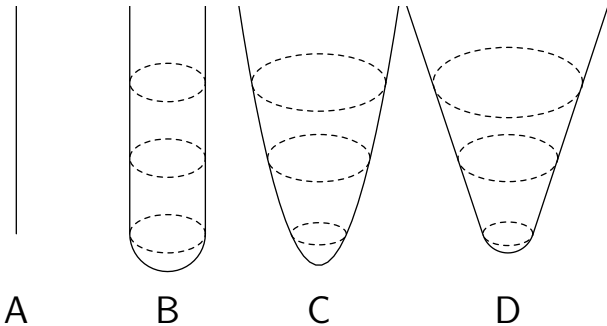


C



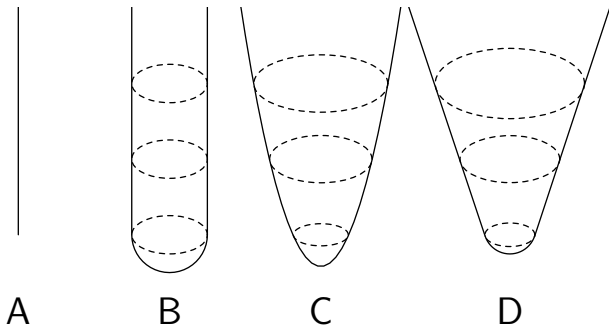
D

# Géométrie asymptotique



Quel est l'intrus ?

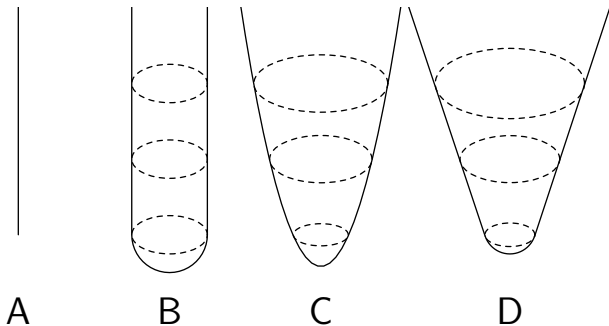
# Géométrie asymptotique



Quel est l'intrus ?

- Si l'on observe au microscope, c'est A.

# Géométrie asymptotique



Quel est l'intrus ?

- ▶ Si l'on observe au microscope, c'est A.
- ▶ Si l'on observe au télescope,

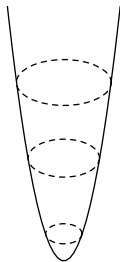
# Géométrie asymptotique



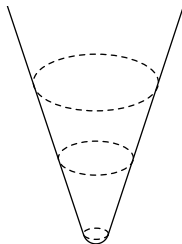
A



B



C

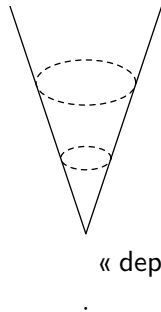
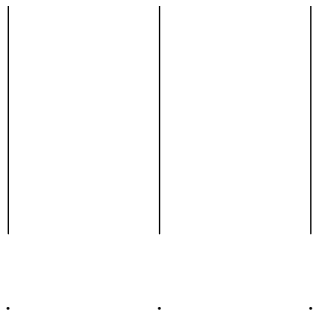


D

Quel est l'intrus ?

- ▶ Si l'on observe au microscope, c'est A.
- ▶ Si l'on observe au télescope,

# Géométrie asymptotique



vus  
« depuis l'infini »

Quel est l'intrus ?

- ▶ Si l'on observe au microscope, c'est A.
- ▶ Si l'on observe au télescope,

# Géométrie asymptotique



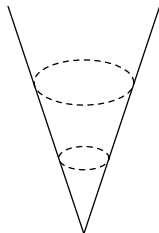
A



B



C



vus  
« depuis l'infini »

D

Quel est l'intrus ?

- ▶ Si l'on observe au microscope, c'est A.
- ▶ Si l'on observe au télescope, c'est D,

# Géométrie asymptotique



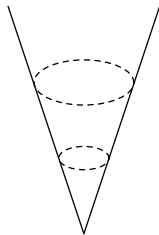
A



B



C



vus  
« depuis l'infini »

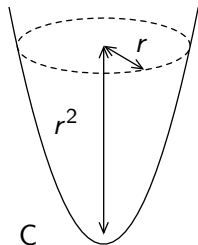
D

Quel est l'intrus ?

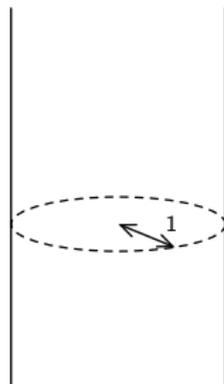
- ▶ Si l'on observe au microscope, c'est A.
- ▶ Si l'on observe au télescope, c'est D, à condition de ne pas déplacer l'objectif.

# Géométrie asymptotique, suite

En s'autorisant à déplacer l'objectif, on peut distinguer B de C.

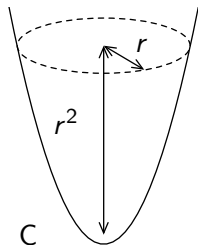


On centre le télescope sur C à hauteur  $r^2$ , avec zoom  $\times \frac{1}{r}$ . Quand  $r \rightarrow +\infty$ , on observe un cylindre. Sur B, on observe toujours une droite ou demi-droite.

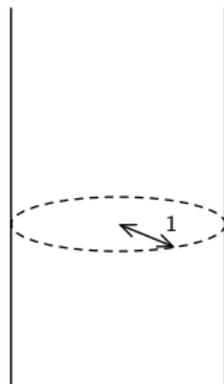


# Géométrie asymptotique, suite

En s'autorisant à déplacer l'objectif, on peut distinguer B de C.



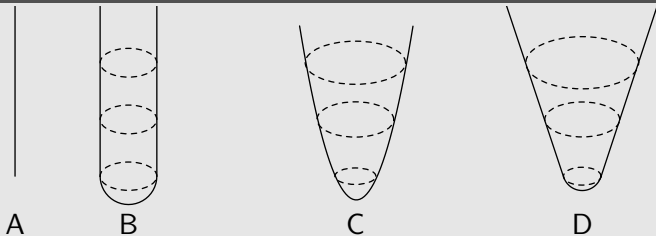
On centre le télescope sur C à hauteur  $r^2$ , avec zoom  $\times \frac{1}{r}$ . Quand  $r \rightarrow +\infty$ , on observe un cylindre. Sur B, on observe toujours une droite ou demi-droite.



# Géométrie asymptotique, suite

En s'autorisant à déplacer l'objectif, on peut distinguer B de C.

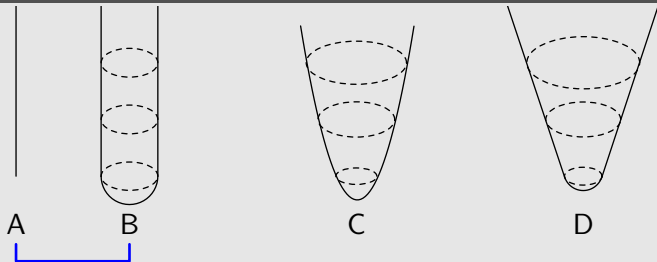
## Conclusion



# Géométrie asymptotique, suite

En s'autorisant à déplacer l'objectif, on peut distinguer B de C.

## Conclusion

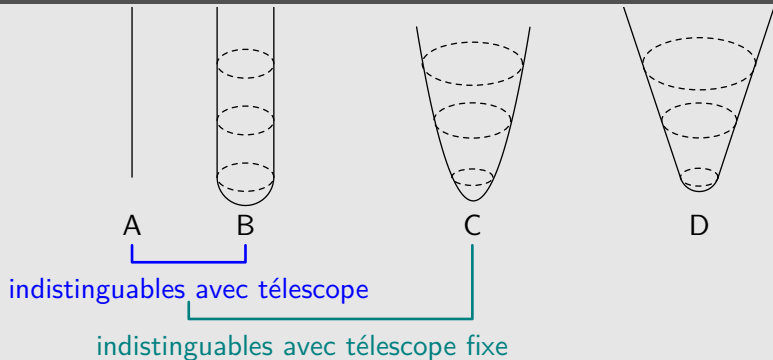


indistinguables avec télescope

# Géométrie asymptotique, suite

En s'autorisant à déplacer l'objectif, on peut distinguer B de C.

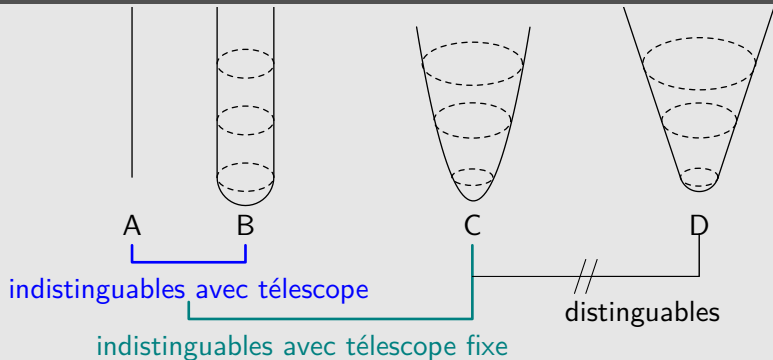
## Conclusion



# Géométrie asymptotique, suite

En s'autorisant à déplacer l'objectif, on peut distinguer B de C.

## Conclusion



# Plan de l'exposé

## Géométrie asymptotique sous-linéaire

QI et SBE

Le cône asymptotique  $\text{Cone}_\omega(-)$

## Espaces homogènes de courbure négative

Structure des groupes de Heintze

Géométrie à grande échelle des groupes de Heintze

## Analyse au bord, invariants

Le bord à l'infini  $\partial_\infty$

Exemples et constructions

## Fonctions de Dehn et groupes nilpotents

# Géométrie asymptotique sous-linéaire

# Quasiisométries et équivalences sous-linéaires

$Y, Y'$  sont des espaces métriques pointés,  $\lambda \geq 1$ .

- $f : Y \rightarrow Y'$  est un **homéomorphisme bilipschitzien** si  $\forall y_1, y_2 \in Y$ ,  
 $\forall y' \in Y'$ ,

$$\begin{cases} \lambda^{-1}d(y_1, y_2) \leq d(f(y_1), f(y_2)) \leq \lambda d(y_1, y_2) \\ y' \in f(Y). \end{cases}$$

# Quasiisométries et équivalences sous-linéaires

$Y, Y'$  sont des espaces métriques pointés,  $\lambda \geq 1$ .

- $f : Y \rightarrow Y'$  est une **quasiisométrie** (QI) si  $\exists c \geq 0$  s.t.  $\forall y_1, y_2 \in Y$ ,  
 $\forall y' \in Y'$ ,

$$\begin{cases} \lambda^{-1}d(y_1, y_2) - c \leq d(f(y_1), f(y_2)) \leq \lambda d(y_1, y_2) + c \\ d(y', f(Y)) \leq c. \end{cases}$$

Les espaces géodésiques propres sur lequel agit géométriquement un même groupe **localement compact compactement engendré** (cglc) sont quasiisométriques.

# Quasiisométries et équivalences sous-linéaires

$Y, Y'$  sont des espaces métriques pointés,  $\lambda \geq 1$ .

- $f : Y \rightarrow Y'$  est une **quasiisométrie** (QI) si  $\exists c \geq 0$  s.t.  $\forall y_1, y_2 \in Y$ ,  $\forall y' \in Y'$ ,

$$\begin{cases} \lambda^{-1}d(y_1, y_2) - c \leq d(f(y_1), f(y_2)) \leq \lambda d(y_1, y_2) + c \\ d(y', f(Y)) \leq c. \end{cases}$$

Les espaces géodésiques propres sur lequel agit géométriquement un même groupe localement compact compactement engendré (cglc) sont quasiisométriques.

- $f : Y \rightarrow Y'$  est une **équivalence sous-linéairement bilipschitzienne** (SBE) s'il existe  $v : \mathbf{R}_{\geq 0} \rightarrow \mathbf{R}_{\geq 1}$  sous linéaire tq  $\forall y_1, y_2 \in Y$  and  $\forall y' \in Y'$ ,

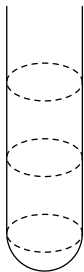
$$\begin{cases} \lambda^{-1}d(y_1, y_2) - v(|y_1| + |y_2|) \leq d(f(y_1), f(y_2)) \\ \leq \lambda d(y_1, y_2) + v(|y_1| + |y_2|) \\ d(y', f(Y)) \leq v(|y'|), \end{cases}$$

où  $|\cdot|$  est la distance au point base.

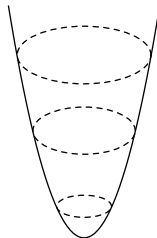
# Exemples (non homogènes)



A

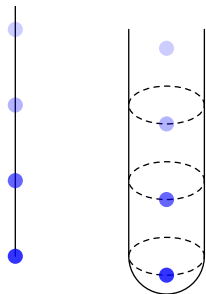


B



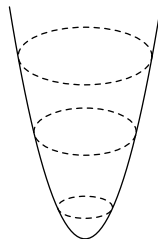
C

# Exemples (non homogènes)



A

B

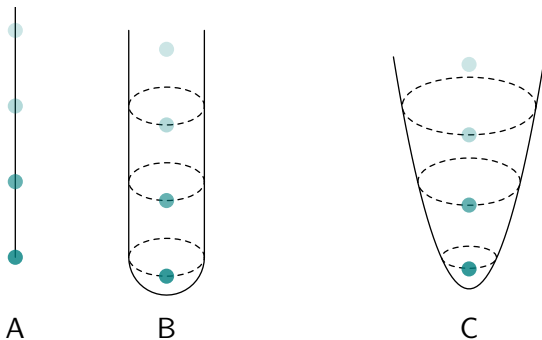


C



Quasiisométriques

# Exemples (non homogènes)



Quasiisométriques

Sous-linéairement bilipschitz-équivalents

# Cône asymptotique, QI et SBE

(Gromov, van den Dries, Wilkie)

Soit  $Y$  un espace métrique, soit  $(o_j)_{j \in \mathbf{Z}_{\geq 0}}$  une suite de points-bases dans  $Y$ , soit  $(\sigma_j)_{j \in \mathbf{Z}_{\geq 0}}$  une suite de facteurs de normalisation de limite infinie. Soit  $\omega$  un ultrafiltre non principal sur  $\mathbf{Z}_{\geq 0}$ .

# Cône asymptotique, QI et SBE

(Gromov, van den Dries, Wilkie)

Soit  $Y$  un espace métrique, soit  $(o_j)_{j \in \mathbf{Z}_{\geq 0}}$  une suite de points-bases dans  $Y$ , soit  $(\sigma_j)_{j \in \mathbf{Z}_{\geq 0}}$  une suite de facteurs de normalisation de limite infinie.

Soit  $\omega$  un ultrafiltre non principal sur  $\mathbf{Z}_{\geq 0}$ .

- $\text{Precone}(o_j, \sigma)$  est constitué des suites  $(x_j)$  telles que  $d(o_j, x_j) = O(\sigma_j)$ .

# Cône asymptotique, QI et SBE

(Gromov, van den Dries, Wilkie)

Soit  $Y$  un espace métrique, soit  $(o_j)_{j \in \mathbf{Z}_{\geq 0}}$  une suite de points-bases dans  $Y$ , soit  $(\sigma_j)_{j \in \mathbf{Z}_{\geq 0}}$  une suite de facteurs de normalisation de limite infinie.

Soit  $\omega$  un ultrafiltre non principal sur  $\mathbf{Z}_{\geq 0}$ .

- ▶  $\text{Precone}(o_j, \sigma)$  est constitué des suites  $(x_j)$  telles que  $d(o_j, x_j) = O(\sigma_j)$ .
- ▶  $\text{Cone}_\omega(Y, o, \sigma)$  est défini à partir de  $\text{Precone}_\omega(o, \sigma)$  avec la semi-distance  $d_\omega([x_j], [y_j]) = \lim_\omega d(x_j, y_j)/\sigma_j$  et en identifiant les points situés à semi-distance nulle.

# Cône asymptotique, **QI** et **SBE**

(Gromov, van den Dries, Wilkie)

Soit  $Y$  un espace métrique, soit  $(o_j)_{j \in \mathbf{Z}_{\geq 0}}$  une suite de points-bases dans  $Y$ , soit  $(\sigma_j)_{j \in \mathbf{Z}_{\geq 0}}$  une suite de facteurs de normalisation de limite infinie. Soit  $\omega$  un ultrafiltre non principal sur  $\mathbf{Z}_{\geq 0}$ .

- ▶  $\text{Precone}(o_j, \sigma)$  est constitué des suites  $(x_j)$  telles que  $d(o_j, x_j) = O(\sigma_j)$ .
- ▶  $\text{Cone}_\omega(Y, o, \sigma)$  est défini à partir de  $\text{Precone}_\omega(o, \sigma)$  avec la semi-distance  $d_\omega([x_j], [y_j]) = \lim_\omega d(x_j, y_j)/\sigma_j$  et en identifiant les points situés à semi-distance nulle.

## Propriété

Soit  $f : Y \rightarrow Y'$  une quasiisométrie. Pour tous  $\omega, \sigma_j, o_j$ ,  $\text{Con}_\omega(f) : \text{Cone}_\omega(Y, \sigma_j, o_j) \rightarrow \text{Cone}_\omega(Y', \sigma_j, f(o_j))$  est un homéomorphisme bilipschitzien.

# Cône asymptotique, QI et SBE

(Gromov, van den Dries, Wilkie)

Soit  $Y$  un espace métrique, soit  $(o_j)_{j \in \mathbf{Z}_{\geq 0}}$  une suite de points-bases dans  $Y$ , soit  $(\sigma_j)_{j \in \mathbf{Z}_{\geq 0}}$  une suite de facteurs de normalisation de limite infinie. Soit  $\omega$  un ultrafiltre non principal sur  $\mathbf{Z}_{\geq 0}$ .

- ▶  $\text{Precone}(o_j, \sigma)$  est constitué des suites  $(x_j)$  telles que  $d(o_j, x_j) = O(\sigma_j)$ .
- ▶  $\text{Cone}_\omega(Y, o, \sigma)$  est défini à partir de  $\text{Precone}_\omega(o, \sigma)$  avec la semi-distance  $d_\omega([x_j], [y_j]) = \lim_\omega d(x_j, y_j)/\sigma_j$  et en identifiant les points situés à semi-distance nulle.

## Propriété

Soit  $f : Y \rightarrow Y'$  une quasiisométrie. Pour tous  $\omega, \sigma_j, o_j$ ,  $\text{Con}_\omega(f) : \text{Cone}_\omega(Y, \sigma_j, o_j) \rightarrow \text{Cone}_\omega(Y', \sigma_j, f(o_j))$  est un homéomorphisme bilipschitzien.

## Propriété (Cornulier)

Soit  $f : Y \rightarrow Y'$  une équivalence sous-linéaire bilipschitzienne. Pour tous  $\omega, \sigma_j, o$ ,  $\text{Con}_\omega(f) : \text{Cone}_\omega(Y, \sigma_j, o) \rightarrow \text{Cone}_\omega(Y', \sigma_j, f(o))$  est un homéomorphisme bilipschitzien.

# Cône asymptotique, QI et SBE

(Gromov, van den Dries, Wilkie)

Soit  $Y$  un espace métrique, soit  $(o_j)_{j \in \mathbf{Z}_{\geq 0}}$  une suite de points-bases dans  $Y$ , soit  $(\sigma_j)_{j \in \mathbf{Z}_{\geq 0}}$  une suite de facteurs de normalisation de limite infinie. Soit  $\omega$  un ultrafiltre non principal sur  $\mathbf{Z}_{\geq 0}$ .

- ▶  $\text{Precone}(o_j, \sigma)$  est constitué des suites  $(x_j)$  telles que  $d(o_j, x_j) = O(\sigma_j)$ .
- ▶  $\text{Cone}_\omega(Y, o, \sigma)$  est défini à partir de  $\text{Precone}_\omega(o, \sigma)$  avec la semi-distance  $d_\omega([x_j], [y_j]) = \lim_\omega d(x_j, y_j)/\sigma_j$  et en identifiant les points situés à semi-distance nulle.

## Propriété

Soit  $f : Y \rightarrow Y'$  une quasiisométrie. Pour tous  $\omega, \sigma_j, o_j$ ,  $\text{Con}_\omega(f) : \text{Cone}_\omega(Y, \sigma_j, o_j) \rightarrow \text{Cone}_\omega(Y', \sigma_j, f(o_j))$  est un homéomorphisme bilipschitzien.

## Propriété

Si  $Y$  et  $Y'$  sont homogènes et  $f : Y \rightarrow Y'$  est une SBE alors  $\text{Cone}_\omega(Y, \sigma)$  et  $\text{Cone}_\omega(Y', \sigma_j)$  sont bilipschitzienement homéomorphes pour tout  $\omega, \sigma_j$ .

# Cône asymptotique, QI et SBE

(Gromov, van den Dries, Wilkie)

Soit  $Y$  un espace métrique, soit  $(o_j)_{j \in \mathbf{Z}_{\geq 0}}$  une suite de points-bases dans  $Y$ , soit  $(\sigma_j)_{j \in \mathbf{Z}_{\geq 0}}$  une suite de facteurs de normalisation de limite infinie. Soit  $\omega$  un ultrafiltre non principal sur  $\mathbf{Z}_{\geq 0}$ .

- ▶  $\text{Precone}(o_j, \sigma)$  est constitué des suites  $(x_j)$  telles que  $d(o_j, x_j) = O(\sigma_j)$ .
- ▶  $\text{Cone}_\omega(Y, o, \sigma)$  est défini à partir de  $\text{Precone}_\omega(o, \sigma)$  avec la semi-distance  $d_\omega([x_j], [y_j]) = \lim_\omega d(x_j, y_j)/\sigma_j$  et en identifiant les points situés à semi-distance nulle.

## Propriété

Soit  $f : Y \rightarrow Y'$  une quasiisométrie. Pour tous  $\omega, \sigma_j, o_j$ ,  $\text{Con}_\omega(f) : \text{Cone}_\omega(Y, \sigma_j, o_j) \rightarrow \text{Cone}_\omega(Y', \sigma_j, f(o_j))$  est un homéomorphisme bilipschitzien.

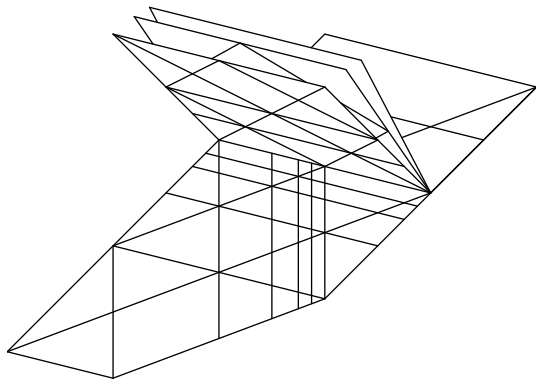
## Propriété

Si  $Y$  et  $Y'$  sont homogènes et  $f : Y \rightarrow Y'$  est une SBE alors  $\text{Cone}_\omega(Y, \sigma)$  et  $\text{Cone}_\omega(Y', \sigma_j)$  sont bilipschitzienement homéomorphes pour tout  $\omega, \sigma_j$ .

**A partir de maintenant tous les espaces seront homogènes**

# Que faire avec un homéomorphisme bilipschitzien ?

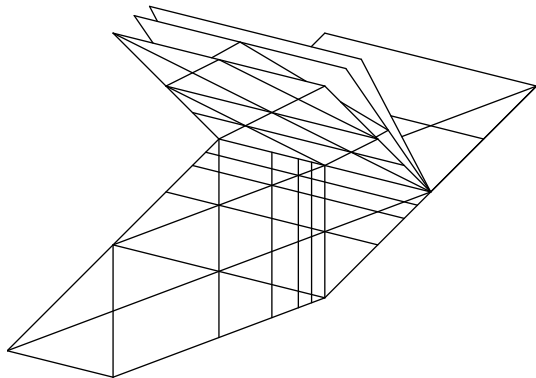
**Homéomorphisme** : topologie,  $\pi_1$ , groupes d'homologie locaux.



*Portion d'immeuble euclidien*

# Que faire avec un homéomorphisme bilipschitzien ?

**Homéomorphisme** : topologie,  $\pi_1$ , groupes d'homologie locaux.



*Portion d'immeuble euclidien*

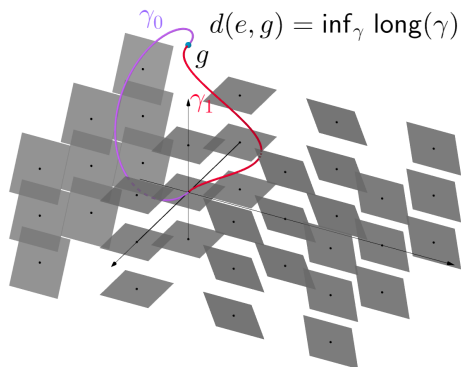
## Théorème (Kleiner-Leeb)

Un homéomorphisme  
entre immeubles euclidiens  
**de rang  $\geq 2$**   
dont la partie de  
translation  
du groupe de Weyl est  
d'orbite dense sur les  
appartements est une  
homothétie.

# Que faire avec un homéomorphisme bilipschitzien ?

**Homéomorphisme** : topologie,  $\pi_1$ , groupes d'homologie locaux.

**Bilipschitzien** : analyse, si le cône est localement compact et géodésique.

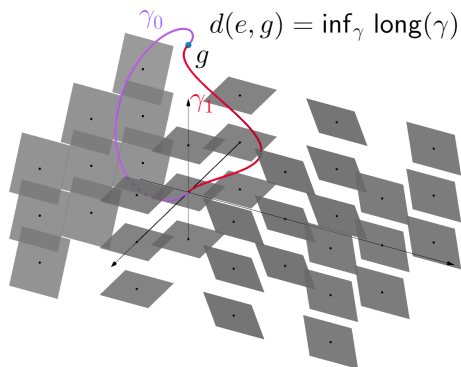


*Métrie CC sur le groupe d'Heisenberg*

# Que faire avec un homéomorphisme bilipschitzien ?

**Homéomorphisme** : topologie,  $\pi_1$ , groupes d'homologie locaux.

**Bilipschitzien** : analyse, si le cône est localement compact et géodésique.

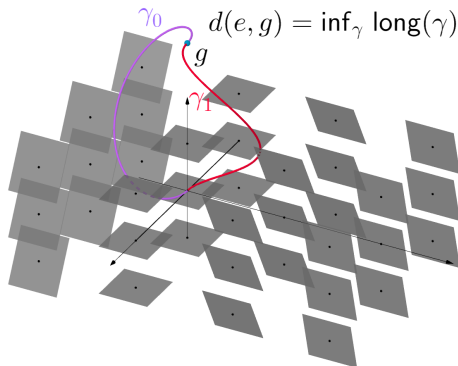


*Métrie CC sur le groupe d'Heisenberg*

# Que faire avec un homéomorphisme bilipschitzien ?

**Homéomorphisme** : topologie,  $\pi_1$ , groupes d'homologie locaux.

**Bilipschitzien** : analyse, si le cône est localement compact et géodésique.



*Métrie CC sur le groupe d'Heisenberg*

## Théorème (Pansu)

Un homéomorphisme bilipschitzien entre deux métriques de Carnot-Carathéodory sur des groupes nilpotents gradués est presque partout différentiable (au sens de Pansu).

# Classification SBE des espaces homogènes

Le problème est vaste.

Propriétés invariantes, pour les groupes cglc.

Propriété		Invariance	Caractérisée des cônes
Hyperbolicité		Oui	Oui ( <b>R</b> -arbre) <small>Gromov</small>
Croissance	linéaire	Oui	Oui ( <b>R</b> ) <small>Druţu-Sapir</small>
	polynomiale	Oui	Oui (métrique CC) ...
	sous-exponentielle	Oui <small>Cornulier</small>	?
Moyennabilité + unimodularité		?	?

# Classification SBE des espaces homogènes

Le problème est vaste.

Propriétés invariantes, pour les groupes cglc.

Propriété		Invariance	Caractérisée des cônes
Hyperbolicité		Oui	Oui ( <b>R</b> -arbre) <small>Gromov</small>
Croissance	linéaire	Oui	Oui ( <b>R</b> ) <small>Druţu-Sapir</small>
	polynomiale	Oui	Oui (métrique CC) ...
	sous-exponentielle	Oui <small>Cornulier</small>	?
Moyennabilité + unimodularité		?	?

La classification est **connue** du côté « croissance polynomiale »

# Classification des groupes cglc à croissance polynomiale

## Théorème (Breuillard, Cornulier, unicité Pansu)

Soit  $G$  un groupe cglc à croissance polynomiale. Il existe un groupe de Lie nilpotent Carnot-gradué  $G_\infty$ , unique à isomorphisme près, tel que

$G \underset{SBE}{\sim} G_\infty$ . De plus il existe  $\gamma$ ,

$0 \leq \gamma < 1$  tel que

$G \underset{O(r^\gamma)\text{-SBE}}{\sim} G_\infty$ .

# Classification des groupes cglc à croissance polynomiale

## Théorème (Breuillard, Cornulier, unicité Pansu)

Soit  $G$  un groupe cglc à croissance polynomiale. Il existe un groupe de Lie nilpotent Carnot-gradué  $G_\infty$ , unique à isomorphisme près, tel que  $G \underset{SBE}{\sim} G_\infty$ . De plus il existe  $\gamma$ ,  $0 \leq \gamma < 1$  tel que  $G \underset{O(r^\gamma)\text{-SBE}}{\sim} G_\infty$ .

## Corollaire

$G$  et  $G'$  cglc à croissance polynomiale, sont SBE si et seulement si  $G_\infty$  et  $G'_\infty$  sont isomorphes.

# Classification des groupes cglc à croissance polynomiale

## Théorème (Breuillard, Cornulier, unicité Pansu)

Soit  $G$  un groupe cglc à croissance polynomiale. Il existe un groupe de Lie nilpotent Carnot-gradué  $G_\infty$ , unique à isomorphisme près, tel que

$G \underset{SBE}{\sim} G_\infty$ . De plus il existe  $\gamma$ ,

$0 \leq \gamma < 1$  tel que

$G \underset{O(r^\gamma)\text{-SBE}}{\sim} G_\infty$ .

## Corollaire

$G$  et  $G'$  cglc à croissance polynomiale, sont SBE si et seulement si  $G_\infty$  et  $G'_\infty$  sont isomorphes.

## Remarque

La classification à quasiisométrie près n'est pas connue.

**Espaces homogènes de courbure négative**

## Espaces homogènes de courbure $< 0$

- ▶ (Wolf 1964) Soit  $M$  une variété riemannienne simplement connexe homogène de courbure  $\leq 0$ . Il existe un groupe de Lie résoluble  $S$  qui agit simplement transitivement sur  $M$ .

## Espaces homogènes de courbure $< 0$

- ▶ (Wolf 1964) Soit  $M$  une variété riemannienne simplement connexe homogène de courbure  $\leq 0$ . Il existe un groupe de Lie résoluble  $S$  qui agit simplement transitivement sur  $M$ .
- ▶ Soit  $S$  un groupe de Lie résoluble connexe simplement connexe. Il existe  $r \geq 0$  et

$$1 \rightarrow N \rightarrow S \rightarrow \mathbf{R}^r \rightarrow 1, \quad (*)$$

où  $N$  est le nilradical (maximal nilpotent normal connexe) de  $S$ .

## Espaces homogènes de courbure $< 0$

- ▶ (Wolf 1964) Soit  $M$  une variété riemannienne simplement connexe homogène de courbure  $\leq 0$ . Il existe un groupe de Lie résoluble  $S$  qui agit simplement transitivement sur  $M$ .
- ▶ Soit  $S$  un groupe de Lie résoluble connexe simplement connexe. Il existe  $r \geq 0$  et

$$1 \rightarrow N \rightarrow S \rightarrow \mathbf{R}^r \rightarrow 1, \quad (*)$$

où  $N$  est le nilradical (maximal nilpotent normal connexe) de  $S$ .

### Théorème (Heintze 1974) et définition

Soit  $M$  de courbure  $< 0$  et  $S$  comme dans le théorème de Wolf. Alors

- ▶  $(*)$  se scinde,  $r = 1$ , et  $\mathbf{R} \curvearrowright N$  est telle que  $t.n = e^{t\alpha}n$  où  $\alpha \in \text{Der}(\text{Lie}(N))$  avec  $\Re \lambda > 0$  pour toute  $\lambda$  valeur propre de  $\alpha$ .
- ▶ Tout tel  $S$  admet une telle opération (donc une métrique à  $K < 0$ ). On l'appelle **groupe de Heintze**. Si  $N$  est abélien,  $S$  est **métabélien**.

## Espaces homogènes de courbure $< 0$

- ▶ (Wolf 1964) Soit  $M$  une variété riemannienne simplement connexe homogène de courbure  $\leq 0$ . Il existe un groupe de Lie résoluble  $S$  qui agit simplement transitivement sur  $M$ .
- ▶ Soit  $S$  un groupe de Lie résoluble connexe simplement connexe. Il existe  $r \geq 0$  et

$$1 \rightarrow N \rightarrow S \rightarrow \mathbf{R}^r \rightarrow 1, \quad (*)$$

où  $N$  est le nilradical (maximal nilpotent normal connexe) de  $S$ .

### Théorème (Heintze 1974) et définition

Soit  $M$  de courbure  $< 0$  et  $S$  comme dans le théorème de Wolf. Alors

- ▶  $(*)$  se scinde,  $r = 1$ , et  $\mathbf{R} \curvearrowright N$  est telle que  $t.n = e^{t\alpha}n$  où  $\alpha \in \text{Der}(\text{Lie}(N))$  avec  $\Re \lambda > 0$  pour toute  $\lambda$  valeur propre de  $\alpha$ .
- ▶ Tout tel  $S$  admet une telle opération (donc une métrique à  $K < 0$ ). On l'appelle **groupe de Heintze**. Si  $N$  est abélien,  $S$  est **métabélien**.

Sans perte de généralité pour nous,  $\alpha$  aura désormais spectre réel.

## Petite dimension

Les groupes de Heintze de dimension 3 ont  $N = \mathbf{R}^2$ . Ce sont des  $\mathbf{R} \rtimes_{\alpha} \mathbf{R}^2$ , classifiés par la forme de Jordan de  $\alpha$  modulo normalisation.

## Petite dimension

Les groupes de Heintze de dimension 3 ont  $N = \mathbf{R}^2$ . Ce sont des  $\mathbf{R} \ltimes_{\alpha} \mathbf{R}^2$ , classifiés par la forme de Jordan de  $\alpha$  modulo normalisation.

- ▶  $\alpha$  est **diagonalisable** : soit  $\mu \geq 1$ ,  $S_{\mu} = \mathbf{R} \ltimes \mathbf{R}^2$  avec

$$t.(x_1, x_2) = \exp \left[ t \begin{pmatrix} 1 & 0 \\ 0 & \mu \end{pmatrix} \right] \begin{pmatrix} x_1 \\ x_2 \end{pmatrix}$$

- ▶  $\alpha$  est **unipotente** :  $S' = \mathbf{R} \ltimes \mathbf{R}^2$  avec

$$t.(x_1, x_2) = \exp \left[ t \begin{pmatrix} 1 & 1 \\ 0 & 1 \end{pmatrix} \right] \begin{pmatrix} x_1 \\ x_2 \end{pmatrix}$$

## Petite dimension

Les groupes de Heintze de dimension 3 ont  $N = \mathbf{R}^2$ . Ce sont des  $\mathbf{R} \ltimes_{\alpha} \mathbf{R}^2$ , classifiés par la forme de Jordan de  $\alpha$  modulo normalisation.

- ▶  $\alpha$  est **diagonalisable** : soit  $\mu \geq 1$ ,  $S_{\mu} = \mathbf{R} \ltimes \mathbf{R}^2$  avec

$$t.(x_1, x_2) = \exp \left[ t \begin{pmatrix} 1 & 0 \\ 0 & \mu \end{pmatrix} \right] \begin{pmatrix} x_1 \\ x_2 \end{pmatrix}$$

- ▶  $\alpha$  est **unipotente** :  $S' = \mathbf{R} \ltimes \mathbf{R}^2$  avec

$$t.(x_1, x_2) = \exp \left[ t \begin{pmatrix} 1 & 1 \\ 0 & 1 \end{pmatrix} \right] \begin{pmatrix} x_1 \\ x_2 \end{pmatrix}$$

$S_1$  porte une métrique symétrique, l'espace hyperbolique réel  $\mathbb{H}_{\mathbf{R}}^3$ .

## Petite dimension

Les groupes de Heintze de dimension 3 ont  $N = \mathbf{R}^2$ . Ce sont des  $\mathbf{R} \rtimes_{\alpha} \mathbf{R}^2$ , classifiés par la forme de Jordan de  $\alpha$  modulo normalisation.

- ▶  $\alpha$  est **diagonalisable** : soit  $\mu \geq 1$ ,  $S_{\mu} = \mathbf{R} \rtimes \mathbf{R}^2$  avec

$$t.(x_1, x_2) = \exp \left[ t \begin{pmatrix} 1 & 0 \\ 0 & \mu \end{pmatrix} \right] \begin{pmatrix} x_1 \\ x_2 \end{pmatrix}$$

- ▶  $\alpha$  est **unipotente** :  $S' = \mathbf{R} \rtimes \mathbf{R}^2$  avec

$$t.(x_1, x_2) = \exp \left[ t \begin{pmatrix} 1 & 1 \\ 0 & 1 \end{pmatrix} \right] \begin{pmatrix} x_1 \\ x_2 \end{pmatrix}$$

$S_1$  porte une métrique symétrique, l'espace hyperbolique réel  $\mathbb{H}_{\mathbf{R}}^3$ . Pour  $S'$ , le pincement des métriques invariantes peut être arbitrairement proche de 1.

## Espaces symétriques et groupes de Heintze focaux

$M = G/K$  espace symétrique de courbure sect.  $< 0$  (donc rang un),  
 $G = KAN$ .  $S = AN$  groupe de Heintze, agit simplement transitivement sur  $M$ .

## Espaces symétriques et groupes de Heintze focaux

$M = G/K$  espace symétrique de courbure sect.  $< 0$  (donc rang un),  
 $G = KAN$ .  $S = AN$  groupe de Heintze, agit simplement transitivement sur  $M$ .

# Espaces symétriques et groupes de Heintze focaux

$M = G/K$  espace symétrique de courbure sect.  $< 0$  (donc rang un),  
 $G = KAN$ .  $S = AN$  groupe de Heintze, agit simplement transitivement sur  $M$ .

## Exemples :

$$A = \mathbf{R}^1, N = \mathbf{R}^n, Y = \mathbb{H}_{\mathbf{R}}^{n+1}.$$

$$A = \mathbf{R}^1, N = \text{Heisenberg}^{2n+1},$$

$$Y = \mathbb{H}_{\mathbf{C}}^{n+1}.$$

# Espaces symétriques et groupes de Heintze focaux

$M = G/K$  espace symétrique de courbure sect.  $< 0$  (donc rang un),  
 $G = KAN$ .  $S = AN$  groupe de Heintze, agit simplement transitivement sur  $M$ .

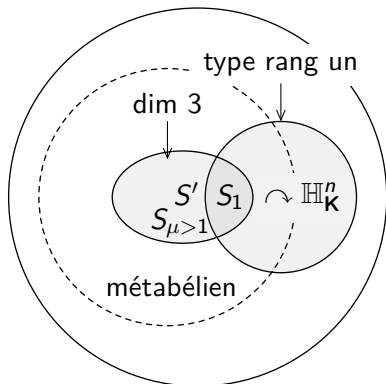
## Exemples :

$$A = \mathbf{R}^1, N = \mathbf{R}^n, Y = \mathbb{H}_{\mathbf{R}}^{n+1}.$$

$$A = \mathbf{R}^1, N = \text{Heisenberg}^{2n+1},$$

$$Y = \mathbb{H}_{\mathbf{C}}^{n+1}.$$

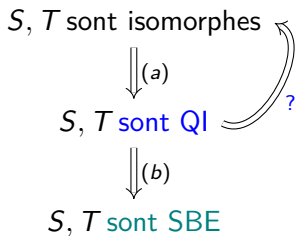
L'opération sur la sphère à l'infini de  $M$  est dite focale ; un point  $\omega$  est sur l'axe de tous les éléments hyperboliques



*Typologie des groupes de Heintze*

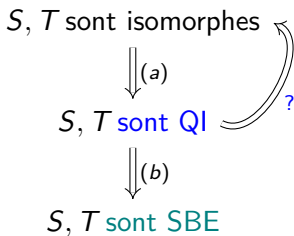
# Géométrie à grande échelle des groupes de Heintze

Soit  $\{S, T\}$  une paire de groupes de Heintze **purement réels**.



# Géométrie à grande échelle des groupes de Heintze

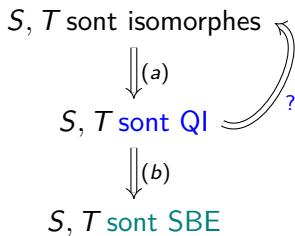
Soit  $\{S, T\}$  une paire de groupes de Heintze **purement réels**.



- Réciproque de (a) ouverte, connue si de plus  $S$  de type Carnot (Pansu + Carrasco Piaggio) ou si  $S, T$  métabéliens (Xie).

# Géométrie à grande échelle des groupes de Heintze

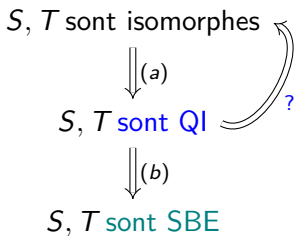
Soit  $\{S, T\}$  une paire de groupes de Heintze **purement réels**.



- Réciproque de (a) ouverte, connue si de plus  $S$  de type Carnot (Pansu + Carrasco Piaggio) ou si  $S, T$  métabéliens (Xie).
- Pas de réciproque de (b) :  $\mathbb{H}_{\mathbb{R}}^3$  et  $S'$  sont  $O(\log)$ -SBE (Cornulier).

# Géométrie à grande échelle des groupes de Heintze

Soit  $\{S, T\}$  une paire de groupes de Heintze **purement réels**.



- Réciproque de (a) ouverte, connue si de plus  $S$  de type Carnot (Pansu + Carrasco Piaggio) ou si  $S, T$  métabéliens (Xie).
- Pas de réciproque de (b) :  $\mathbb{H}_{\mathbb{R}}^3$  et  $S'$  sont  $O(\log)$ -SBE (Cornulier).

## Théorème I

Si  $S$  et  $T$  ont une métrique symétrique et sont SBE, alors  $S$  et  $T$  sont isomorphes.

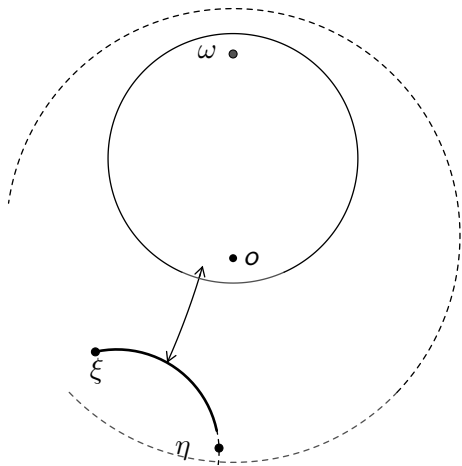
## Théorème II

Supposons  $S$  et  $T$  métabéliens de dérivations  $\alpha_S, \alpha_T$  diagonalisables. Si  $S$  et  $T$  sont SBE alors ils sont isomorphes.

**Analyse au bord, invariants**

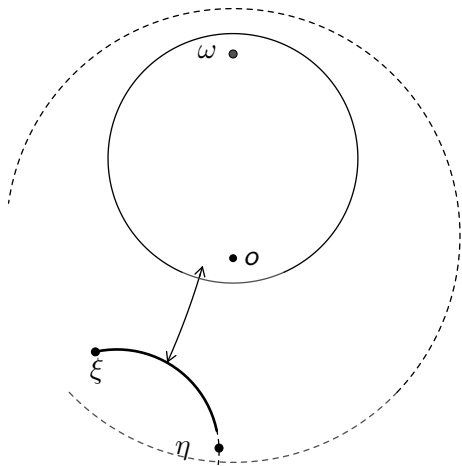
# Bord d'un groupe de Heintze

$S \curvearrowright M$ , simple transitive.  
 $\omega \in \partial_\infty M$  point focal.



# Bord d'un groupe de Heintze

$S \curvearrowright M$ , simple transitive.  
 $\omega \in \partial_\infty M$  point focal. Le bord privé de  $\omega$  (et les horosphères) sont des espaces homogènes de  $N$ .



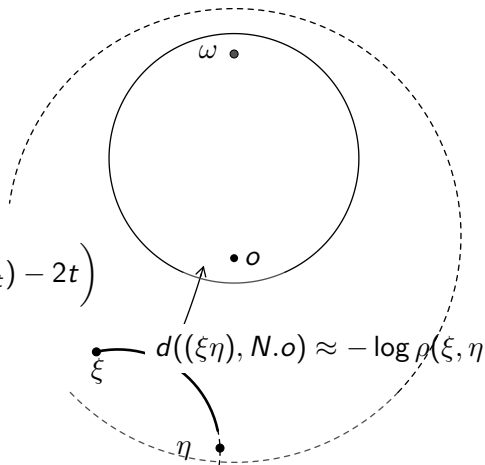
# Bord d'un groupe de Heintze

$S \curvearrowright M$ , simple transitive.  
 $\omega \in \partial_\infty M$  point focal. Le bord privé de  $\omega$  (et les horosphères) sont des espaces homogènes de  $N$ .

Fixons  $o \in M$ . On définit

$$\rho(\xi, \eta) := \exp \left( \frac{-1}{2} \lim_{t \rightarrow +\infty} d_M(\xi_t, \eta_t) - 2t \right)$$

noyau d'Euclide-Cygan (Paulin, Hersensky) pour  $\{\xi_t\}, \{\eta_t\}$  géodésiques avec  $\xi_\infty = \eta_\infty = \omega$  et  $\xi_0, \eta_0 \in N.o$ .



# Bord d'un groupe de Heintze

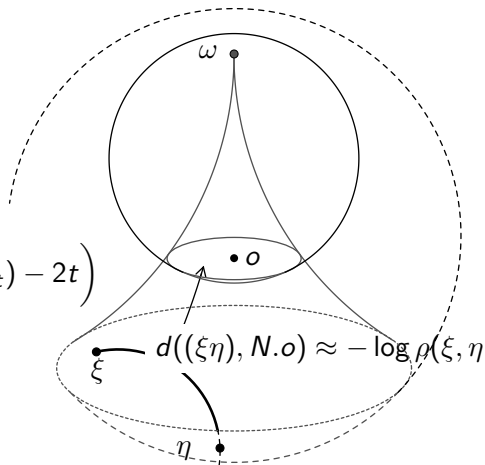
$S \curvearrowright M$ , simple transitive.  
 $\omega \in \partial_\infty M$  point focal. Le bord privé de  $\omega$  (et les horosphères) sont des espaces homogènes de  $N$ .

Fixons  $o \in M$ . On définit

$$\rho(\xi, \eta) := \exp \left( \frac{-1}{2} \lim_{t \rightarrow +\infty} d_M(\xi_t, \eta_t) - 2t \right)$$

noyau d'Euclide-Cygan (Paulin, Hersensky) pour  $\{\xi_t\}, \{\eta_t\}$  géodésiques avec  $\xi_\infty = \eta_\infty = \omega$  et  $\xi_0, \eta_0 \in N.o$ .

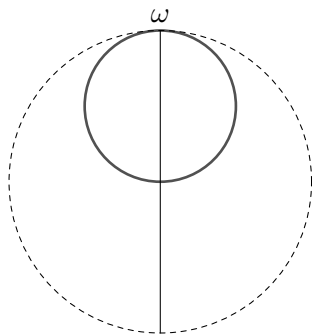
Sur tout  $\Omega \subset \partial_\infty M$  t.q.  $\omega \notin \bar{\Omega}$ ,  $\rho$  est biLipschitz-équivalent à une métrique visuelle.



# Sur le noyau d'Euclide-Cygan

Pour tous  $\xi_0, \xi_1 \in \partial_\infty^* M = \partial_\infty M$ ,

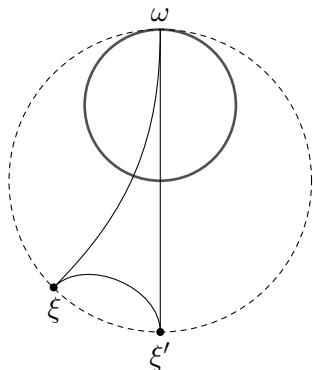
$$\rho(e^{\alpha t} \xi_0, e^{\alpha t} \xi_1) = e^t \rho(\xi_0, \xi_1).$$



# Sur le noyau d'Euclide-Cygan

Pour tous  $\xi_0, \xi_1 \in \partial_\infty^* M = \partial_\infty M$ ,

$$\rho(e^{\alpha t} \xi_0, e^{\alpha t} \xi_1) = e^t \rho(\xi_0, \xi_1).$$

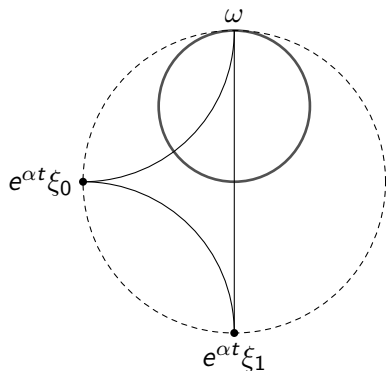


# Sur le noyau d'Euclide-Cygan

Pour tous  $\xi_0, \xi_1 \in \partial_\infty^* M = \partial_\infty M$ ,

$$\rho(e^{\alpha t} \xi_0, e^{\alpha t} \xi_1) = e^t \rho(\xi_0, \xi_1).$$

Muni de  $\rho$ ,  $\partial_\infty^*$  est **auto-similaire**.  
Ses auto-similarités sont les  $e^{\alpha t}$ . On notera ici l'espace autosimilaire correspondant  $(N, \langle \alpha \rangle)$ .



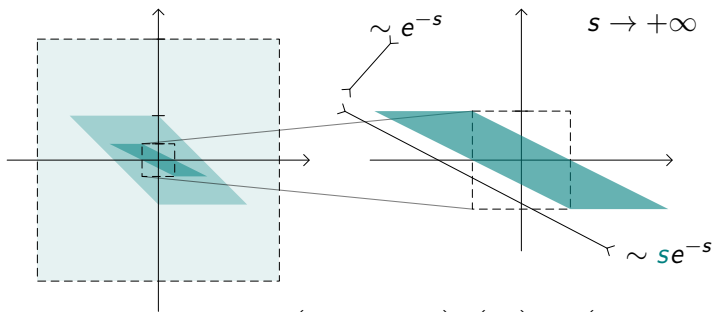
# Approx. des petites boules de $\rho$ dessinées sur $\mathbb{R}^2$

<b>Groupe</b>	$\left\  \left\{ S \text{ isom. } \mathbb{H}_{\mathbb{R}}^3 \right\} \right\ $	$\left\  \left\{ S' \right\} \right\ $	$\left\  \left\{ S_{\mu} (\mu > 1) \right\} \right\ $
<b>auto-similarités</b>	$\left\{ \begin{pmatrix} e^t & 0 \\ 0 & e^t \end{pmatrix} \right\}$	$\left\{ \begin{pmatrix} e^t & te^t \\ 0 & e^t \end{pmatrix} \right\}$	$\left\{ \begin{pmatrix} e^t & 0 \\ 0 & e^{\mu t} \end{pmatrix} \right\}$

# Approx. des petites boules de $\rho$ dessinées sur $\mathbb{R}^2$

Groupe auto-similarités

$$\left\| \begin{array}{c} S \text{ isom. } \mathbb{H}_{\mathbb{R}}^3 \\ \left\{ \begin{pmatrix} e^t & 0 \\ 0 & e^t \end{pmatrix} \right\} \end{array} \right\| \left\| \begin{array}{c} S' \\ \left\{ \begin{pmatrix} e^t & te^t \\ 0 & e^t \end{pmatrix} \right\} \end{array} \right\| \left\| \begin{array}{c} S_{\mu} (\mu > 1) \\ \left\{ \begin{pmatrix} e^t & 0 \\ 0 & e^{\mu t} \end{pmatrix} \right\} \end{array} \right\|$$



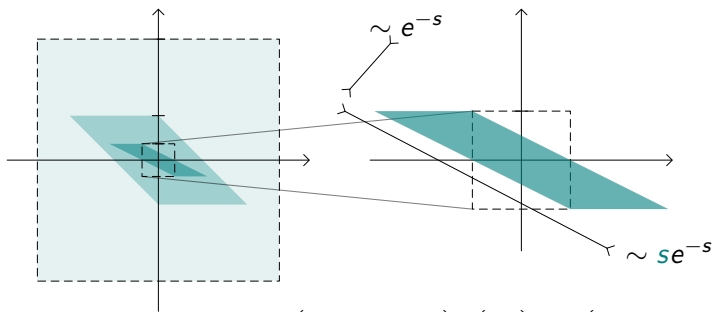
$$\begin{pmatrix} e^{-s} & -se^{-s} \\ 0 & e^{-s} \end{pmatrix} \begin{pmatrix} \pm 1 \\ \pm 1 \end{pmatrix} = \begin{pmatrix} \pm e^{-s} \mp se^{-s} \\ \pm e^{-s} \end{pmatrix}$$

# Approx. des petites boules de $\rho$ dessinées sur $\mathbb{R}^2$

Groupe auto-similarités

$$\left\| \left\{ \begin{pmatrix} e^t & 0 \\ 0 & e^t \end{pmatrix} \right\} \right\| \left\{ \begin{pmatrix} e^t & te^t \\ 0 & e^t \end{pmatrix} \right\} \left\| \left\{ \begin{pmatrix} e^t & 0 \\ 0 & e^{\mu t} \end{pmatrix} \right\} \right.$$

$S$  isom.  $\mathbb{H}_{\mathbb{R}}^3$        $S'$        $S_\mu$  ( $\mu > 1$ )

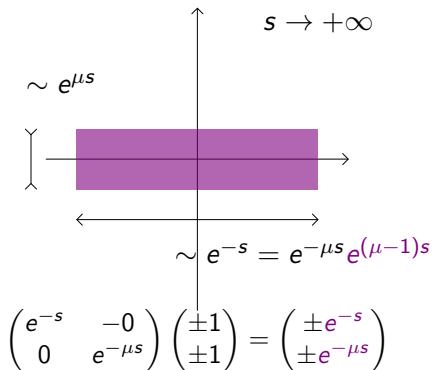
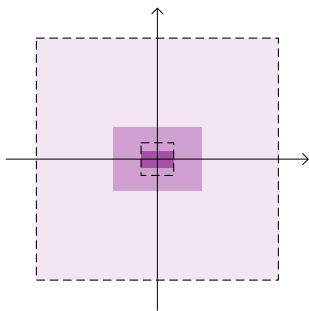


$$\begin{pmatrix} e^{-s} & -se^{-s} \\ 0 & e^{-s} \end{pmatrix} \begin{pmatrix} \pm 1 \\ \pm 1 \end{pmatrix} = \begin{pmatrix} \pm e^{-s} \mp se^{-s} \\ \pm e^{-s} \end{pmatrix}$$

# Approx. des petites boules de $\rho$ dessinées sur $\mathbb{R}^2$

Groupe auto-similarités

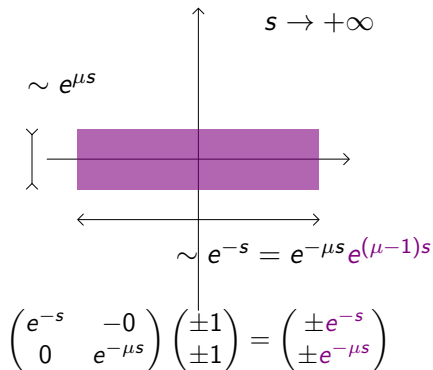
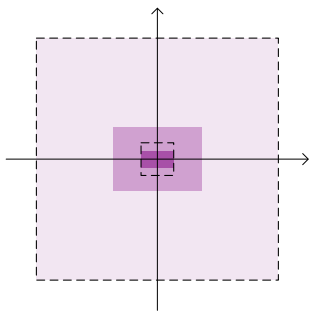
$$\left\| \left\{ \begin{pmatrix} e^t & 0 \\ 0 & e^t \end{pmatrix} \right\} \right\| \left\| \left\{ \begin{pmatrix} e^t & te^t \\ 0 & e^t \end{pmatrix} \right\} \right\| \left\| \left\{ \begin{pmatrix} S_\mu (\mu > 1) \\ e^t & 0 \\ 0 & e^{\mu t} \end{pmatrix} \right\} \right\|$$



# Approx. des petites boules de $\rho$ dessinées sur $\mathbb{R}^2$

Groupe auto-similarités

$$\left\| \left\{ \begin{pmatrix} e^t & 0 \\ 0 & e^t \end{pmatrix} \right\} \right\| \left\| \left\{ \begin{pmatrix} e^t & te^t \\ 0 & e^t \end{pmatrix} \right\} \right\| \left\| \left\{ \begin{matrix} S_\mu (\mu > 1) \\ \begin{pmatrix} e^t & 0 \\ 0 & e^{\mu t} \end{pmatrix} \end{matrix} \right\} \right\|$$



# Quasiisométries et sphère à l'infini

Soit  $\tau \geq 0$ . Un couple d'ensembles  $(a, a^+)$  dans un espace quasimétrique est une  $\tau$ -**couronne** intérieure s'il y a une boule  $B$  telle que  $B \subseteq a \subseteq a^+ \subseteq e^\tau B$ .  $\text{rayon}(B)$  est un **rayon interne** et  $\tau$  une **asphéricité** pour  $(a, a^+)$ .

Un homéomorphisme est dit quasisymétrique s'il **préserve l'asphéricité bornée**, c-à-d. toute  $\tau$ -couronne est envoyée sur une famille de  $\tau'$ -couronne avec  $\tau'$  ne dépendant que de  $\tau$ .

# Quasiisométries et sphère à l'infini

Soit  $\tau \geq 0$ . Un couple d'ensembles  $(a, a^+)$  dans un espace quasimétrique est une  $\tau$ -**couronne** intérieure s'il y a une boule  $B$  telle que  $B \subseteq a \subseteq a^+ \subseteq e^\tau B$ .  $\text{rayon}(B)$  est un **rayon interne** et  $\tau$  une **asphéricité** pour  $(a, a^+)$ .

Un homéomorphisme est dit quasisymétrique s'il **présERVE l'asphéricité bornée**, c-à-d. toute  $\tau$ -couronne est envoyée sur une famille de  $\tau'$ -couronne avec  $\tau'$  ne dépendant que de  $\tau$ .

## Théorèmes

Soient  $S$  et  $S'$  des groupes hyperboliques opérant géométriquement sur  $M, M'$ . Soit  $f : M \rightarrow M'$  une quasiisométrie. Il existe un homéomorphisme  $\partial_\infty f : \partial_\infty M \rightarrow \partial_\infty M'$  (Efremovich -Tihomirova), qui est quasisymétrique (Mostow-Margulis essentiellement).

## SBE au bord de Gromov

Soit  $s_n \rightarrow +\infty$ . Une famille de couronnes  $(a_n, a_n^+)$  de  $(\partial_\infty^*, \rho)$  de rayons internes  $e^{-s_n}$  et d'asphéricités  $\tau_n$  est **d'asphéricité sous-linéaire** si  $\tau_n \ll |s_n|$  (quantitativement :  $\tau_n = O(v(s_n))$ ).

# SBE au bord de Gromov

Soit  $s_n \rightarrow +\infty$ . Une famille de couronnes  $(a_n, a_n^+)$  de  $(\partial_\infty^*, \rho)$  de rayons internes  $e^{-s_n}$  et d'asphéricités  $\tau_n$  est **d'asphéricité sous-linéaire** si  $\tau_n \ll |s_n|$  (quantitativement :  $\tau_n = O(v(s_n))$ ).

## Définition

Un homéomorphisme est sous-linéairement quasisymétrique s'il est **biHölder** et si lui et son inverse **preservent l'asphéricité sous-linéaire** pour toute famille de couronnes.

# SBE au bord de Gromov

Soit  $s_n \rightarrow +\infty$ . Une famille de couronnes  $(a_n, a_n^+)$  de  $(\partial_\infty^*, \rho)$  de rayons internes  $e^{-s_n}$  et d'asphéricités  $\tau_n$  est **d'asphéricité sous-linéaire** si  $\tau_n \ll |s_n|$  (quantitativement :  $\tau_n = O(v(s_n))$ ).

## Définition

Un homéomorphisme est sous-linéairement quasisymétrique s'il est **biHölder** et si lui et son inverse **preservent l'asphéricité sous-linéaire** pour toute famille de couronnes.

## Théorèmes

Les SBE se prolongent à  $\partial_\infty M$  (ou au bord de Gromov), quantitativement

1. (Cornulier 2017) en homéomorphismes biHölder.

# SBE au bord de Gromov

Soit  $s_n \rightarrow +\infty$ . Une famille de couronnes  $(a_n, a_n^+)$  de  $(\partial_\infty^*, \rho)$  de rayons internes  $e^{-s_n}$  et d'asphéricités  $\tau_n$  est **d'asphéricité sous-linéaire** si  $\tau_n \ll |s_n|$  (quantitativement :  $\tau_n = O(v(s_n))$ ).

## Définition

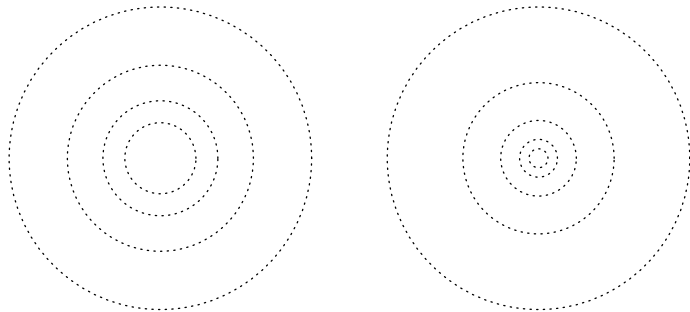
Un homéomorphisme est sous-linéairement quasisymétrique s'il est **biHölder** et si lui et son inverse **preservent l'asphéricité sous-linéaire** pour toute famille de couronnes.

## Théorèmes

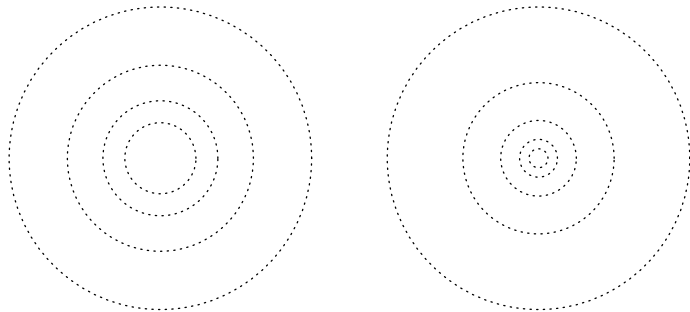
Les SBE se prolongent à  $\partial_\infty M$  (ou au bord de Gromov), quantitativement

1. (Cornulier 2017) en homéomorphismes biHölder.
2. (P.) en homéomorphismes sous-linéairement quasisymétriques.

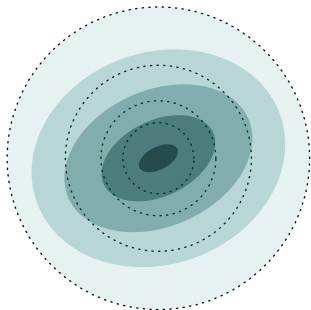
# L'asphéricité sous-linéaire est préservée



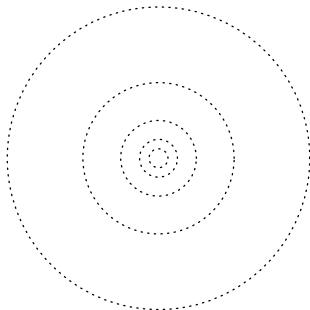
# L'asphéricité sous-linéaire est préservée



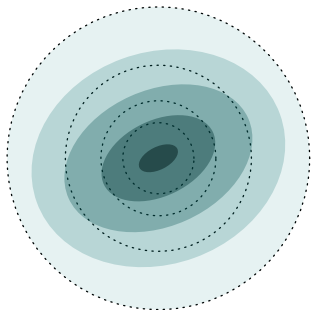
# L'asphéricité sous-linéaire est préservée



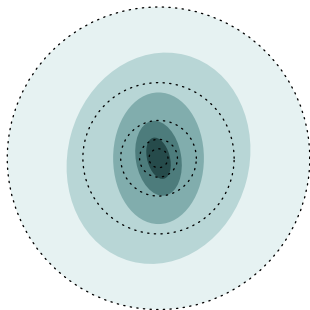
$$\tau_n = O(\sqrt{n})$$



# L'asphéricité sous-linéaire est préservée



$$\tau_n = O(\sqrt{n})$$



$$\tau'_n = O(\sqrt{n})$$

**Figure** – Homéomorphisme sous-linéairement quasisymétrique de  $\mathbf{R}^2$  euclidien préservant l'asphéricité de classe  $O(\sqrt{n})$

# Exemple

## Observation (Cornulier)

$S_1$  et  $S'$  sont SBE.

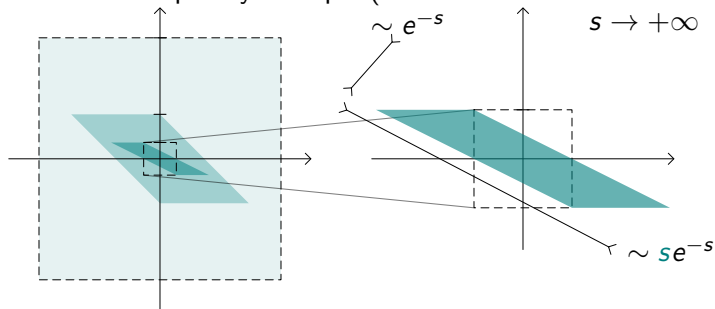
Au bord : l'identité  $\left(\mathbf{R}^2, \left\langle \left( \begin{array}{cc} 1 & 0 \\ 0 & 1 \end{array} \right) \right\rangle\right) \rightarrow \left(\mathbf{R}^2, \left\langle \left( \begin{array}{cc} 1 & 1 \\ 0 & 1 \end{array} \right) \right\rangle\right)$  est  
sous-linéairement quasisymétrique (sur tout ouvert relativement compact).

# Exemple

## Observation (Cornulier)

$S_1$  et  $S'$  sont SBE.

Au bord : l'identité  $\left(\mathbf{R}^2, \left\langle \begin{pmatrix} 1 & 0 \\ 0 & 1 \end{pmatrix} \right\rangle\right) \rightarrow \left(\mathbf{R}^2, \left\langle \begin{pmatrix} 1 & 1 \\ 0 & 1 \end{pmatrix} \right\rangle\right)$  est sous-linéairement quasisymétrique (sur tout ouvert relativement compact).



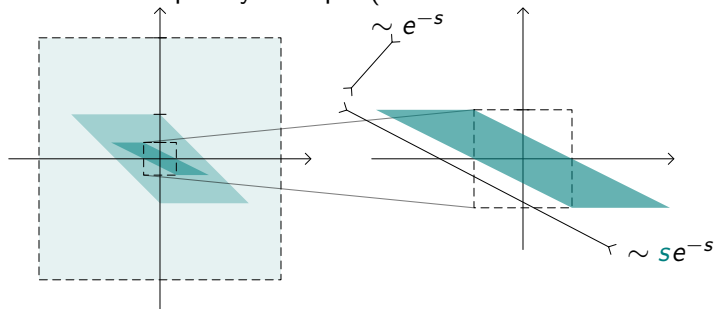
$$\tau = O(\log(s))$$

# Exemple

## Observation (Cornulier)

$S_1$  et  $S'$  sont SBE.

Au bord : l'identité  $\left(\mathbf{R}^2, \left\langle \begin{pmatrix} 1 & 0 \\ 0 & 1 \end{pmatrix} \right\rangle\right) \rightarrow \left(\mathbf{R}^2, \left\langle \begin{pmatrix} 1 & 1 \\ 0 & 1 \end{pmatrix} \right\rangle\right)$  est sous-linéairement quasisymétrique (sur tout ouvert relativement compact).



$$\tau = O(\log(s))$$

# Construction d'homéomorphismes sous-linéairement quasisymétriques

## Ingrédients

- ▶ La mesure de Lebesgue  $\lambda$  sur  $[0, 1]$ ,

# Construction d'homéomorphismes sous-linéairement quasisymétriques

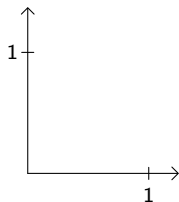
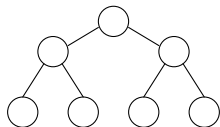
## Ingrédients

- ▶ La mesure de Lebesgue  $\lambda$  sur  $[0, 1]$ ,
- ▶ Une famille décroissante  $\epsilon_n \downarrow 0$  de limite nulle **mais pas dans**  $\ell^1$ ,

# Construction d'homéomorphismes sous-linéairement quasisymétriques

## Ingrédients

- ▶ La mesure de Lebesgue  $\lambda$  sur  $[0, 1]$ ,
- ▶ Une famille décroissante  $\epsilon_n \downarrow 0$  de limite nulle **mais pas dans**  $\ell^1$ ,
- ▶ Un arbre binaire enraciné
- ▶  $\aleph_0$  variables aléatoires i.i.d. dans  $\{\leftarrow, \rightarrow\}$ .

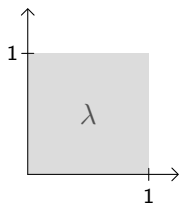
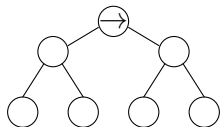


# Construction d'homéomorphismes sous-linéairement quasisymétriques

## Ingrédients

- ▶ La mesure de Lebesgue  $\lambda$  sur  $[0, 1]$ ,
- ▶ Une famille décroissante  $\epsilon_n \downarrow 0$  de limite nulle **mais pas dans**  $\ell^1$ ,
- ▶ Un arbre binaire enraciné
- ▶  $\aleph_0$  variables aléatoires i.i.d. dans  $\{\leftarrow, \rightarrow\}$ .

**1<sup>ère</sup> étape** Construction d'une mesure  $M$  sur  $[0, 1]$ .

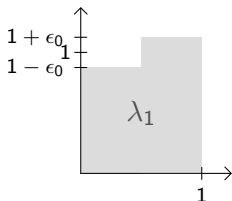
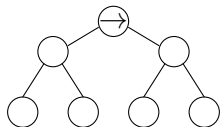


# Construction d'homéomorphismes sous-linéairement quasisymétriques

## Ingrédients

- ▶ La mesure de Lebesgue  $\lambda$  sur  $[0, 1]$ ,
- ▶ Une famille décroissante  $\epsilon_n \downarrow 0$  de limite nulle **mais pas dans**  $\ell^1$ ,
- ▶ Un arbre binaire enraciné
- ▶  $\aleph_0$  variables aléatoires i.i.d. dans  $\{\leftarrow, \rightarrow\}$ .

**1<sup>ère</sup> étape** Construction d'une mesure  $M$  sur  $[0, 1]$ .

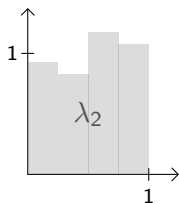
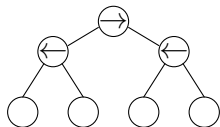


# Construction d'homéomorphismes sous-linéairement quasisymétriques

## Ingrédients

- ▶ La mesure de Lebesgue  $\lambda$  sur  $[0, 1]$ ,
- ▶ Une famille décroissante  $\epsilon_n \downarrow 0$  de limite nulle **mais pas dans**  $\ell^1$ ,
- ▶ Un arbre binaire enraciné
- ▶  $\aleph_0$  variables aléatoires i.i.d. dans  $\{\leftarrow, \rightarrow\}$ .

**1<sup>ère</sup> étape** Construction d'une mesure  $M$  sur  $[0, 1]$ .

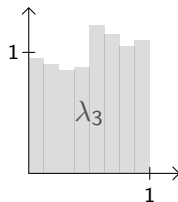
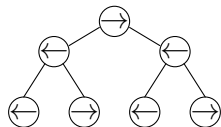


# Construction d'homéomorphismes sous-linéairement quasisymétriques

## Ingrédients

- ▶ La mesure de Lebesgue  $\lambda$  sur  $[0, 1]$ ,
- ▶ Une famille décroissante  $\epsilon_n \downarrow 0$  de limite nulle **mais pas dans**  $\ell^1$ ,
- ▶ Un arbre binaire enraciné
- ▶  $\aleph_0$  variables aléatoires i.i.d. dans  $\{\leftarrow, \rightarrow\}$ .

**1<sup>ère</sup> étape** Construction d'une mesure  $M$  sur  $[0, 1]$ .

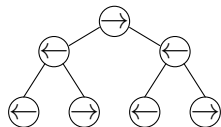


# Construction d'homéomorphismes sous-linéairement quasisymétriques

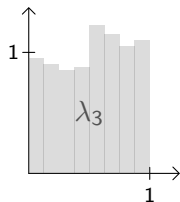
## Ingrédients

- ▶ La mesure de Lebesgue  $\lambda$  sur  $[0, 1]$ ,
- ▶ Une famille décroissante  $\epsilon_n \downarrow 0$  de limite nulle **mais pas dans**  $\ell^1$ ,
- ▶ Un arbre binaire enraciné
- ▶  $\aleph_0$  variables aléatoires i.i.d. dans  $\{\leftarrow, \rightarrow\}$ .

**1<sup>ère</sup> étape** Construction d'une mesure  $M$  sur  $[0, 1]$ .



$$M = \lim_n \lambda_n$$



# Construction d'homéomorphismes sous-linéairement quasisymétriques, suite.

2<sup>ème</sup> étape :  $\phi(s) = M[0, s]$  pour  $s \in [0, 1]$ .

- ▶  $\phi$  n'est pas abs. continue. La dérivée est  $\lambda$ -p.p. 0. Le module de continuité est presque celui d'une fonction lipschitzienne :  
 $\log |\phi(x) - \phi(y)| \leq \log |x - y| + v(\log |x - y|)$ ,  $v(r) \ll r$ .

# Construction d'homéomorphismes sous-linéairement quasisymétriques, suite.

**2<sup>ème</sup> étape** :  $\phi(s) = M[0, s]$  pour  $s \in [0, 1]$ .

- ▶  $\phi$  n'est pas abs. continue. La dérivée est  $\lambda$ -p.p. 0. Le module de continuité est presque celui d'une fonction lipschitzienne :  
 $\log |\phi(x) - \phi(y)| \leq \log |x - y| + v(\log |x - y|)$ ,  $v(r) \ll r$ .

**3<sup>ème</sup> étape** : Pour obtenir un homéomorphisme sous-linéairement quasisymétrique du tore,  $\Phi = \phi_1 \times \phi_2$ , où  $\phi_1$  et  $\phi_2$  sont comme précédemment.  $\Phi$  n'a pas la propriété ACL.

# Construction d'homéomorphismes sous-linéairement quasisymétriques, suite.

**2<sup>ème</sup> étape** :  $\phi(s) = M[0, s]$  pour  $s \in [0, 1]$ .

- ▶  $\phi$  n'est pas abs. continue. La dérivée est  $\lambda$ -p.p. 0. Le module de continuité est presque celui d'une fonction lipschitzienne :  
 $\log |\phi(x) - \phi(y)| \leq \log |x - y| + v(\log |x - y|)$ ,  $v(r) \ll r$ .

**3<sup>ème</sup> étape** : Pour obtenir un homéomorphisme sous-linéairement quasisymétrique du tore,  $\Phi = \phi_1 \times \phi_2$ , où  $\phi_1$  et  $\phi_2$  sont comme précédemment.  $\Phi$  n'a pas la propriété ACL.

## Proposition

$\phi$  and  $\Phi$  sont sous-linéairement quasisymétriques. La distorsion d'asphéricité à l'échelle  $s$  est bornée par  $(\sum_{n < -\log_2 s} \epsilon_n)$ .

# Construction d'homéomorphismes sous-linéairement quasisymétriques, suite.

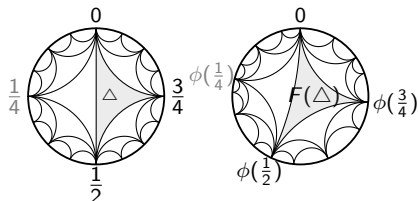
**2<sup>ème</sup> étape :**  $\phi(s) = M[0, s]$  pour  $s \in [0, 1]$ .

- ▶  $\phi$  n'est pas abs. continue. La dérivée est  $\lambda$ -p.p. 0. Le module de continuité est presque celui d'une fonction lipschitzienne :  
 $\log |\phi(x) - \phi(y)| \leq \log |x - y| + v(\log |x - y|)$ ,  $v(r) \ll r$ .

**3<sup>ème</sup> étape :** Pour obtenir un homéomorphisme sous-linéairement quasisymétrique du tore,  $\Phi = \phi_1 \times \phi_2$ , où  $\phi_1$  et  $\phi_2$  sont comme précédemment.  $\Phi$  n'a pas la propriété ACL.

## Proposition

$\phi$  and  $\Phi$  sont sous-linéairement quasisymétriques. La distorsion d'asphéricité à l'échelle  $s$  est bornée par  $(\sum_{n < -\log_2 s} \epsilon_n)$ .



$\phi$  s'étend-elle en une SBE de  $\mathbb{H}^2$  ?

# Dimensions conformes

La **dimension topologique**, la **dimension conforme** **confidm** sont invariantes par homéomorphismes quasimétriques.

# Dimensions conformes

La **dimension topologique**, la **dimension conforme** **confdim** sont invariantes par homéomorphismes quasisymétrique.

$$\text{dim. conforme} = \sup \left\{ \rho > 0 : \text{mod}_{\rho}^{\{\tau_j\}}(\text{courbes non ponctuelles}) = +\infty \right\}$$

$\{\tau_j\}$  sont des paramètres d'asphéricité.  $\text{mod}_{\rho}^{\{\tau_j\}}$  sont des modules grossiers (Pansu). On construit une variante où les asphéricités sont des fonctions sous-linéaires.

# Dimensions conformes

La **dimension topologique**, la **dimension conforme** **confdim** sont invariantes par homéomorphismes quasimétriques.

$$\text{dim. conforme} = \sup \left\{ \rho > 0 : \text{mod}_{\rho}^{\{\tau_j\}}(\text{courbes non ponctuelles}) = +\infty \right\}$$

$\{\tau_j\}$  sont des paramètres d'asphéricité.  $\text{mod}_{\rho}^{\{\tau_j\}}$  sont des modules grossiers (Pansu). On construit une variante où les asphéricités sont des fonctions sous-linéaires. Précisément  $k, \ell, m$  sont des mesures d'asphéricités, et  $\Gamma$  une famille de « courbes »

$$\text{pmod}_{\rho;k}^{\ell,m}(\Gamma) = \inf \left\{ P\tilde{\Phi}_{\rho;k}^{\ell}(N) : \phi \in \mathcal{G}_m(\Gamma) \right\},$$

où  $P\tilde{\Phi}$  est une mesure d'empilement, et  $\mathcal{G}_m(\Gamma)$  désigne une famille de jauges dites admissibles, attribuant une 1-mesure de Carathéodory  $\geq 1$  à chaque  $\gamma \in \Gamma$  (mesuré par recouvrements par des  $m$ -quasiboules).

$$\text{sdim}_{O(u)}^{\Gamma}(N, \langle \alpha \rangle) = \sup \left\{ \rho \in \mathbf{R}_{>0} : \forall k \in O(u), \exists \ell \in O(u) \right. \\ \left. \forall m \in O(u), \text{pmod}_{\rho;k}^{\ell,m}(\Gamma) = +\infty \right\}.$$

# Dimensions conformes

La **dimension topologique**, la **dimension conforme confidm** sont invariantes par homéomorphismes quasisymétrique.

$$\text{dim. conforme} = \sup \left\{ \rho > 0 : \text{mod}_{\rho}^{\{\tau_j\}}(\text{courbes non ponctuelles}) = +\infty \right\}$$

$\{\tau_j\}$  sont des paramètres d'asphéricité.  $\text{mod}_{\rho}^{\{\tau_j\}}$  sont des modules grossiers (Pansu). On construit une variante où les asphéricités sont des fonctions sous-linéaires. Précisément  $k, \ell, m$  sont des mesures d'asphéricités, et  $\Gamma$  une famille de « courbes »

$$\text{pmod}_{\rho;k}^{\ell,m}(\Gamma) = \inf \left\{ P\tilde{\Phi}_{\rho;k}^{\ell}(N) : \phi \in \mathcal{G}_m(\Gamma) \right\},$$

où  $P\tilde{\Phi}$  est une mesure d'empilement, et  $\mathcal{G}_m(\Gamma)$  désigne une famille de jauges dites admissibles, attribuant une 1-mesure de Carathéodory  $\geq 1$  à chaque  $\gamma \in \Gamma$  (mesuré par recouvrements par des  $m$ -quasiboules).

$$\text{sdim}_{O(u)}^{\Gamma}(N, \langle \alpha \rangle) = \sup \left\{ \rho \in \mathbf{R}_{>0} : \forall k \in O(u), \exists \ell \in O(u) \right. \\ \left. \forall m \in O(u), \text{pmod}_{\rho;k}^{\ell,m}(\Gamma) = +\infty \right\}.$$

sdim est invariante par homéomorphisme sous-linéairement

# Quelques calculs de dimension conforme

Majorer les modules, permet de minorer les dimensions conformes.

Espace autosimilaire	Dimension sous-linéaire-conforme
$(\mathbf{R}^2, \langle \alpha \rangle)$ avec $\alpha$ scalaire.	2
$(\mathbf{R}^2, \langle \alpha \rangle)$ avec $\alpha$ unipotente.	2
$(\mathbf{R}^2, \langle \alpha \rangle)$ avec $\alpha = \text{diag}(1, \mu)$	$1 + \mu$
$(N, \alpha)$ $N$ nilpotent $\alpha$ dérivation Heintze	<b>trace</b> ( $\alpha$ )

# Quelques calculs de dimension conforme

Majorer les modules, permet de minorer les dimensions conformes.

Espace autosimilaire	Dimension sous-linéaire-conforme
$(\mathbf{R}^2, \langle \alpha \rangle)$ avec $\alpha$ scalaire.	2
$(\mathbf{R}^2, \langle \alpha \rangle)$ avec $\alpha$ unipotente.	2
$(\mathbf{R}^2, \langle \alpha \rangle)$ avec $\alpha = \text{diag}(1, \mu)$	$1 + \mu$
$(N, \alpha)$ $N$ nilpotent $\alpha$ dérivation Heintze	<b>trace</b> ( $\alpha$ )

## Retour sur le théorème I

$M$	$\dim \partial_\infty M$	$\text{sdim} \partial_\infty M$
$\mathbb{H}_{\mathbf{R}}^{n+1}$	$n$	$n$
$\mathbb{H}_{\mathbf{C}}^{n+1}$	$2n + 1$	$2n + 2$
$\mathbb{H}_{\mathbf{H}}^{n+1}$	$4n + 3$	$4n + 6$
$\mathbb{H}_{\mathbf{O}}^2$	15	22

La paire  $(\dim \partial_\infty, \text{sdim} \partial_\infty)$  classifie les espaces symétriques de rang un, ou les groupes de Heintze non de type focal.

# Quelques calculs de dimension conforme

Majorer les modules, permet de minorer les dimensions conformes.

Espace autosimilaire	Dimension sous-linéaire-conforme
$(\mathbf{R}^2, \langle \alpha \rangle)$ avec $\alpha$ scalaire.	2
$(\mathbf{R}^2, \langle \alpha \rangle)$ avec $\alpha$ unipotente.	2
$(\mathbf{R}^2, \langle \alpha \rangle)$ avec $\alpha = \text{diag}(1, \mu)$	$1 + \mu$
$(N, \alpha)$ $N$ nilpotent $\alpha$ dérivation Heintze	<b>trace</b> ( $\alpha$ )

## Retour sur le théorème I

$M$	$\dim \partial_\infty M$	$\text{sdim} \partial_\infty M$
$\mathbb{H}_{\mathbf{R}}^{n+1}$	$n$	$n$
$\mathbb{H}_{\mathbf{C}}^{n+1}$	$2n + 1$	$2n + 2$
$\mathbb{H}_{\mathbf{H}}^{n+1}$	$4n + 3$	$4n + 6$
$\mathbb{H}_{\mathbf{O}}^2$	15	22

La paire  $(\dim \partial_\infty, \text{sdim} \partial_\infty)$  classifie les espaces symétriques de rang un, ou les groupes de Heintze non de type focal. Dans ce cas, sur  $\partial_\infty M$  épointé, une distance CC réalise la dimension conforme, ce qui simplifie la preuve.

# Groupes de Heintze métabéliens

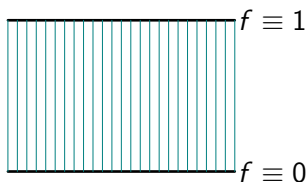
À une borne sur les modules de la famille de courbes correspond une borne sur les énergies (ou variations) de fonctions séparant les armatures d'un condensateur.

# Groupes de Heintze métabéliens

À une borne sur les modules de la famille de courbes correspond une borne sur les énergies (ou variations) de fonctions séparant les armatures d'un condensateur.

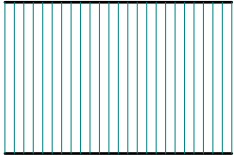
# Groupes de Heintze métabéliens

À une borne sur les modules de la famille de courbes correspond une borne sur les énergies (ou variations) de fonctions séparant les armatures d'un condensateur.



# Groupes de Heintze métabéliens

À une borne sur les modules de la famille de courbes correspond une borne sur les énergies (ou variations) de fonctions séparant les armatures d'un condensateur.


$$E_p^{\{\tau\}}(f) \geq \text{mod}_p^{\{\tau\}}(\Gamma)$$

On définit des algèbres de fonctions  $\mathcal{W}_{\text{loc}}^{p, \{\tau\}}$  ( $p$ -variation bornée, et continues) ; si  $\varphi$  est un homéomorphisme sous-linéairement quasisymétrique alors  $\mathcal{W}_{\text{loc}}^{p, \{\tau'\}}(\Omega) \xrightarrow{\sim} \mathcal{W}_{\text{loc}}^{p, \{\tau\}}(\varphi^{-1}\Omega)$  pour  $\Omega$  ouvert à l'arrivée.  $\mathcal{W}_{\text{loc}}^{p, \{\tau\}}(\Omega)$  est une algèbre de Fréchet.

# Théorème de Cornulier (pour les groupes de Heintze)

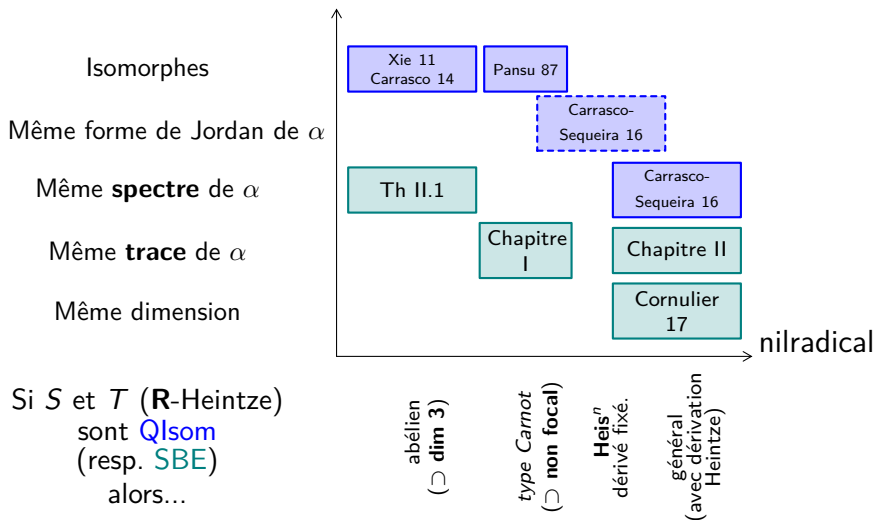
Soit  $S$  un groupe de Heintze purement réel,  $\alpha$  sa dérivation structurelle. On forme  $S_\infty$  avec la même structure mais en ne conservant que la partie semi-simple de  $\alpha$ .

**Théorème (Cornulier 2008, 2011) généralisant l'observation**

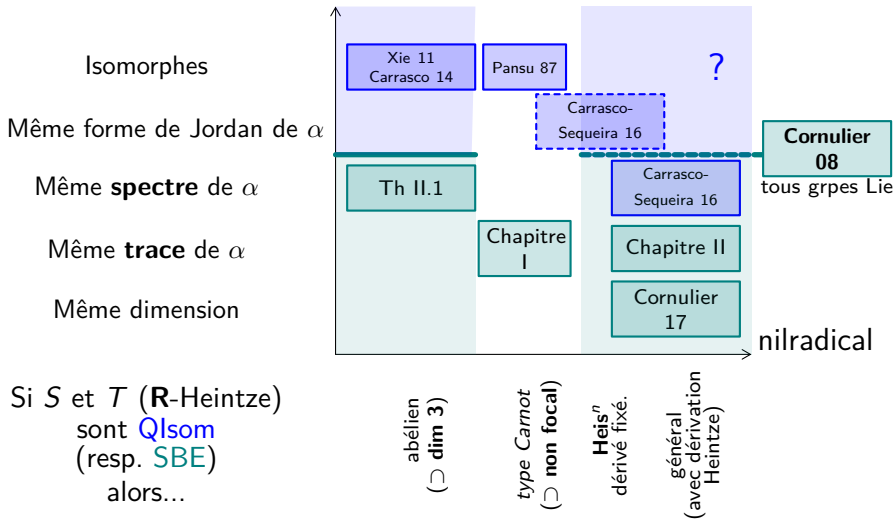
$S$  et  $S_\infty$  sont  $O(\log)$ -SBE.

Avec le th. précédent, pour  $\{S, T\}$  paire de groupes de Heintze purement réels métabéliens, si  $S$  et  $T$  sont SBE alors  $S_\infty$  et  $T_\infty$  sont isomorphes.

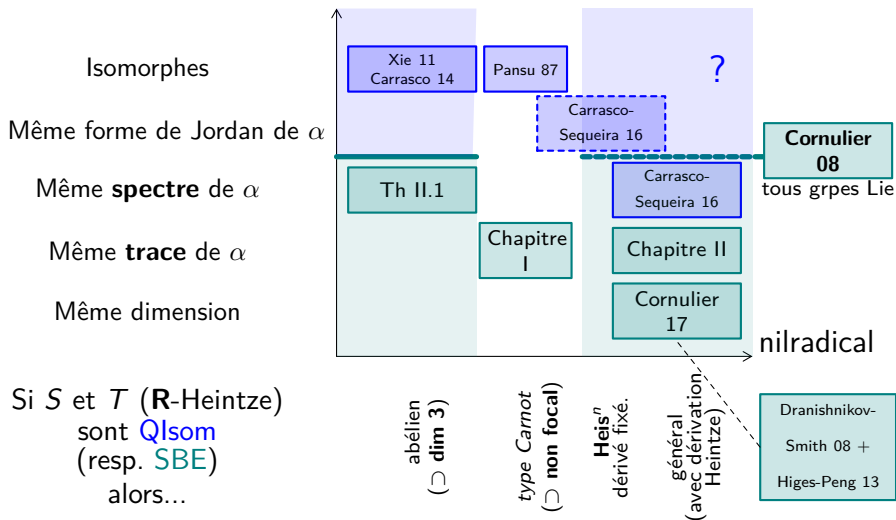
# Classifications des groupes de Heintze (purement réels)



# Classifications des groupes de Heintze (purement réels)



# Classifications des groupes de Heintze (purement réels)



Si  $S$  et  $T$  ( $\mathbf{R}$ -Heintze)  
sont **Qsom**  
(resp. **SBE**)  
alors...

## **Fonctions de Dehn et groupes nilpotents**

# Version quantitative de la classification SBE

## Rappel (Théorème de Pansu suivant Cornulier)

Soit  $G$  un groupe de Lie nilpotent simplement connexe,  $G_\infty$  le groupe gradué associé. Alors  $G$  et  $G_\infty$  sont  $O(r^\gamma)$ -bilipschitziennement équivalents.

Cornulier 2017 : majoration de  $\gamma$ , suivant la structure de  $\text{Lie}(G)$ .

Peut-on minorer  $\gamma$ ? Idée (Cornulier) : utiliser la fonction de Dehn comme témoin.

## Théorème (Papasoglu)

Si  $d \geq 2$  est tel que  $\delta_{G_\infty}(n) \preccurlyeq n^d$  alors pour tout  $\varepsilon > 0$ ,  $\delta_G(n) \preccurlyeq n^{d+\varepsilon}$ .

Cela n'interdit pas le remplissage d'être *meilleur* dans  $G$  que dans son cône asymptotique.

# Une fonction de Dehn cubique

**Théorème (Gromov 93, Allcock 98, Ol'shanskii-Sapir 99)**

Soit  $G$  le groupe d'Heisenberg  $H_5 = H_3 \times_{\mathbb{Z}} H_3$ . Alors  $\delta_G(n) \asymp n^2$ .

**Proposition (travail en cours avec C. Llosa Isenrich et R. Tessera)**

Soit  $G$  le groupe  $L_4 \times_{\mathbb{Z}} H_3$ . Alors  $\delta_G(n) \asymp n^3$ .

*On espère montrer que  $L_p \times_{\mathbb{Z}} L_q$  avec  $2 < p < q$  a  $\delta(n) \asymp n^{q-1}$ .*

**Corollaire**

$G$  et  $G_\infty$  ne sont pas  $O(r^\gamma)$ -SBE avec  $\gamma < 1/7$ .

$G$  et  $G_\infty$  ne sont pas quasiisométriques d'après le théorème de Shalom, car  $b_2(G_\infty) = 7$  et  $b_2(G) = 6$  (de même  $b_3(L_5 \times_{\mathbb{Z}} H_3) = 11$  et  $b_3(L_5 \times \mathbb{Z}^2) = 10$ ).

# Quelques questions ouvertes et pistes de recherche

1. A-t-on que si  $S$  et  $T$  Heintze purement réels sont  $o(\log)$ -SBE alors ils sont isomorphes? Pour  $S$  et  $T$  de  $\dim 3$ ?

# Quelques questions ouvertes et pistes de recherche

1. A-t-on que si  $S$  et  $T$  Heintze purement réels sont  $o(\log)$ -SBE alors ils sont isomorphes? Pour  $S$  et  $T$  de  $\dim 3$ ?
2. Pour les groupes de type fini non moyennables, QI et biLipschitz définissent la même relation d'équivalence. Y a-t-il une classe de groupes de type fini pour laquelle SBE  $\iff$  biLipschitz? Contient les groupes virtuellement libres.

# Quelques questions ouvertes et pistes de recherche

1. A-t-on que si  $S$  et  $T$  Heintze purement réels sont  $o(\log)$ -SBE alors ils sont isomorphes? Pour  $S$  et  $T$  de  $\dim 3$ ?
2. Pour les groupes de type fini non moyennables, QI et biLipschitz définissent la même relation d'équivalence. Y a-t-il une classe de groupes de type fini pour laquelle SBE  $\iff$  biLipschitz? Contient les groupes virtuellement libres.
3. Soit  $\Gamma$  un groupe hyperbolique ou nilpotent de type fini. Est-ce que la percolation de premier passage (FPP) sur un graphe de Cayley de  $\Gamma$  reste SBE à  $\Gamma$ ? avec  $\lambda = 1$  si  $\Gamma$  hyperbolique et FPP normalisée? (pour  $\Gamma = \mathbf{Z}$  c'est le TCL). Pour  $\Gamma$  nilpotent, le cône asymptotique de la FPP est une métrique CC d'après Benjamini-Tessera 2014.

# Annexes

# SBE et équivalences grossières

Autre généralisation de la notion de quasiisométrie. Ces notions se définissent aussi pour les plongements. Monovariants et invariants :

# SBE et équivalences grossières

Autre généralisation de la notion de quasiisométrie. Ces notions se définissent aussi pour les plongements. Monovariants et invariants :

- |   |   |
|---|---|
| 1. Dimension asymptotique (Gromov).                 | 1. Dimension d'Assouad-Nagata asymptotique <b>pour groupes de Lie</b> (Dranishnikov-Smith + Higes-Peng) |
| 2. Croissance si source géodésique et image propre. |   |
| 3. Profil séparation (Benjamini-Schramm-Timar).     | 2. Dimension (top.) des cônes asymptotiques (Cornulier).  |

# Dilatations asymptotiques des groupes nilpotents

Soit  $\mathfrak{g}$  une algèbre de Lie nilpotente,  $L : \mathfrak{g} \rightarrow \text{gr}(\mathfrak{g})$  un isomorphisme linéaire respectant les filtrations centrales descendantes.

# Dilatations asymptotiques des groupes nilpotents

Soit  $\mathfrak{g}$  une algèbre de Lie nilpotente,  $L : \mathfrak{g} \rightarrow \text{gr}(\mathfrak{g})$  un isomorphisme linéaire respectant les filtrations centrales descendantes. Sur  $\text{gr}(\mathfrak{g})$  il y a :

## Dilatations asymptotiques des groupes nilpotents

Soit  $\mathfrak{g}$  une algèbre de Lie nilpotente,  $L : \mathfrak{g} \rightarrow \text{gr}(\mathfrak{g})$  un isomorphisme linéaire respectant les filtrations centrales descendantes. Sur  $\text{gr}(\mathfrak{g})$  il y a :

- ▶ Deux structures d'algèbre de Lie : le crochet gradué  $[x, y]_{\text{gr}}$ , et  $\{x, y\} = L [L^{-1}x, L^{-1}y]$ .

# Dilatations asymptotiques des groupes nilpotents

Soit  $\mathfrak{g}$  une algèbre de Lie nilpotente,  $L : \mathfrak{g} \rightarrow \text{gr}(\mathfrak{g})$  un isomorphisme linéaire respectant les filtrations centrales descendantes. Sur  $\text{gr}(\mathfrak{g})$  il y a :

- ▶ Deux structures d'algèbre de Lie : le crochet gradué  $[x, y]_{\text{gr}}$ , et  $\{x, y\} = L [L^{-1}x, L^{-1}y]$ .
- ▶ Deux structures de groupe de Lie (via la série de Campbell-Hausdorff) :  $(x, y) \mapsto x \bullet y$  et  $(x, y) \mapsto x \star y$ . Remarque :  $(-x) \circ x = (-x) \star x = 0$ .

# Dilatations asymptotiques des groupes nilpotents

Soit  $\mathfrak{g}$  une algèbre de Lie nilpotente,  $L : \mathfrak{g} \rightarrow \text{gr}(\mathfrak{g})$  un isomorphisme linéaire respectant les filtrations centrales descendantes. Sur  $\text{gr}(\mathfrak{g})$  il y a :

- ▶ Deux structures d'algèbre de Lie : le crochet gradué  $[x, y]_{\text{gr}}$ , et  $\{x, y\} = L [L^{-1}x, L^{-1}y]$ .
- ▶ Deux structures de groupe de Lie (via la série de Campbell-Hausdorff) :  $(x, y) \mapsto x \bullet y$  et  $(x, y) \mapsto x \star y$ . Remarque :  $(-x) \circ x = (-x) \star x = 0$ .
- ▶ Une norme, dite homogène :  $|x| = \sup_i |x_i|^{1/i}$  si  $x = \sum x_i$ ,  $x_i \in \mathfrak{g}^i / \mathfrak{g}^{i+1}$ .

# Dilatations asymptotiques des groupes nilpotents

Soit  $\mathfrak{g}$  une algèbre de Lie nilpotente,  $L : \mathfrak{g} \rightarrow \text{gr}(\mathfrak{g})$  un isomorphisme linéaire respectant les filtrations centrales descendantes. Sur  $\text{gr}(\mathfrak{g})$  il y a :

- ▶ Deux structures d'algèbre de Lie : le crochet gradué  $[x, y]_{\text{gr}}$ , et  $\{x, y\} = L [L^{-1}x, L^{-1}y]$ .
- ▶ Deux structures de groupe de Lie (via la série de Campbell-Hausdorff) :  $(x, y) \mapsto x \bullet y$  et  $(x, y) \mapsto x \star y$ . Remarque :  $(-x) \circ x = (-x) \star x = 0$ .
- ▶ Une norme, dite homogène :  $|x| = \sup_i |x_i|^{1/i}$  si  $x = \sum x_i$ ,  $x_i \in \mathfrak{g}^i / \mathfrak{g}^{i+1}$ .

## Théorème (Guivarc'h 1973)

Si  $d$  est une distance invariante à gauche pour  $\circ$  ou  $\star$ , propre et géodésique, alors il existe  $c \geq 1$  tel que  $\frac{1}{c}|x| \leq d(0, x) \leq c|x|$ .

# Dilatations asymptotiques des groupes nilpotents

Soit  $\mathfrak{g}$  une algèbre de Lie nilpotente,  $L : \mathfrak{g} \rightarrow \text{gr}(\mathfrak{g})$  un isomorphisme linéaire respectant les filtrations centrales descendantes. Sur  $\text{gr}(\mathfrak{g})$  il y a :

- ▶ Deux structures d'algèbre de Lie : le crochet gradué  $[x, y]_{\text{gr}}$ , et  $\{x, y\} = L[L^{-1}x, L^{-1}y]$ .
- ▶ Deux structures de groupe de Lie (via la série de Campbell-Hausdorff) :  $(x, y) \mapsto x \bullet y$  et  $(x, y) \mapsto x \star y$ . Remarque :  $(-x) \circ x = (-x) \star x = 0$ .
- ▶ Une norme, dite homogène :  $|x| = \sup_i |x_i|^{1/i}$  si  $x = \sum x_i$ ,  $x_i \in \mathfrak{g}^i/\mathfrak{g}^{i+1}$ .

## Théorème (Guivarc'h 1973)

Si  $d$  est une distance invariante à gauche pour  $\circ$  ou  $\star$ , propre et géodésique, alors il existe  $c \geq 1$  tel que  $\frac{1}{c}|x| \leq d(0, x) \leq c|x|$ .

## Théorème (Goodman 1977 - Cornulier 2011, 2016 $\gamma$ explicite)

Il existe  $\gamma \in (0, 1)$  tel que  $|x \circ y - x \star y| = O((|x| \vee |y|)^\gamma)$ .

## **SBE des groupes nilpotents**

La proximité à grande échelle des structures d'algèbre de Lie entraîne une proximité des structures métriques des groupes correspondants :

# SBE des groupes nilpotents

La proximité à grande échelle des structures d'algèbre de Lie entraîne une proximité des structures métriques des groupes correspondants :

## Théorème (Cornulier)

Soient  $d_\circ$  et  $d_\star$  deux distances  $\circ$  et  $\star$ -invariantes, propres et géodésiques sur  $\text{gr}(\mathfrak{g})$ . Alors  $\text{id} : (\text{gr}(\mathfrak{g}), \circ) \rightarrow (\text{gr}(\mathfrak{g}), \star)$  est  $O(r^\gamma)$ -SBE, avec  $\gamma$  explicite.

# SBE des groupes nilpotents

## Théorème (Cornulier)

Soient  $d_\circ$  et  $d_\star$  deux distances  $\circ$  et  $\star$ -invariantes, propres et géodésiques sur  $\text{gr}(\mathfrak{g})$ . Alors  $\text{id} : (\text{gr}(\mathfrak{g}), \circ) \rightarrow (\text{gr}(\mathfrak{g}), \star)$  est  $O(r^\gamma)$ -SBE, avec  $\gamma$  explicite.

Ceci implique une variante du th. de Pansu en prenant pour  $d_\star$  une distance CC.

# SBE des groupes nilpotents

## Théorème (Cornulier)

Soient  $d_\circ$  et  $d_\star$  deux distances  $\circ$  et  $\star$ -invariantes, propres et géodésiques sur  $\text{gr}(\mathfrak{g})$ . Alors  $\text{id} : (\text{gr}(\mathfrak{g}), \circ) \rightarrow (\text{gr}(\mathfrak{g}), \star)$  est  $O(r^\gamma)$ -SBE, avec  $\gamma$  explicite.

Ceci implique une variante du th. de Pansu en prenant pour  $d_\star$  une distance CC.

Pour tous  $x, y \in \text{gr}(\mathfrak{g})$ ,

$$d_\circ(x, y) = d(0, -x \circ y) \quad (\text{inv. à gauche})$$

# SBE des groupes nilpotents

## Théorème (Cornulier)

Soient  $d_\circ$  et  $d_\star$  deux distances  $\circ$  et  $\star$ -invariantes, propres et géodésiques sur  $\text{gr}(\mathfrak{g})$ . Alors  $\text{id} : (\text{gr}(\mathfrak{g}), \circ) \rightarrow (\text{gr}(\mathfrak{g}), \star)$  est  $O(r^\gamma)$ -SBE, avec  $\gamma$  explicite.

Ceci implique une variante du th. de Pansu en prenant pour  $d_\star$  une distance CC.

Pour tous  $x, y \in \text{gr}(\mathfrak{g})$ ,

$$\begin{aligned}d_\circ(x, y) &= d(0, -x \circ y) && \text{(inv. à gauche)} \\ &\leq c | -x \circ y | && \text{(Guivarc'h)}\end{aligned}$$

# SBE des groupes nilpotents

## Théorème (Cornulier)

Soient  $d_\circ$  et  $d_\star$  deux distances  $\circ$  et  $\star$ -invariantes, propres et géodésques sur  $\text{gr}(\mathfrak{g})$ . Alors  $\text{id} : (\text{gr}(\mathfrak{g}), \circ) \rightarrow (\text{gr}(\mathfrak{g}), \star)$  est  $O(r^\gamma)$ -SBE, avec  $\gamma$  explicite.

Ceci implique une variante du th. de Pansu en prenant pour  $d_\star$  une distance CC.

Pour tous  $x, y \in \text{gr}(\mathfrak{g})$ ,

$$\begin{aligned}d_\circ(x, y) &= d(0, -x \circ y) && \text{(inv. à gauche)} \\ &\leq c | -x \circ y| && \text{(Guivarc'h)} \\ &\leq c | -x \star y| + c |(-x \star y) - (-x \circ y)| && \text{(inég. } \triangle)\end{aligned}$$

# SBE des groupes nilpotents

## Théorème (Cornulier)

Soient  $d_\circ$  et  $d_\star$  deux distances  $\circ$  et  $\star$ -invariantes, propres et géodésques sur  $\text{gr}(\mathfrak{g})$ . Alors  $\text{id} : (\text{gr}(\mathfrak{g}), \circ) \rightarrow (\text{gr}(\mathfrak{g}), \star)$  est  $O(r^\gamma)$ -SBE, avec  $\gamma$  explicite.

Ceci implique une variante du th. de Pansu en prenant pour  $d_\star$  une distance CC.

Pour tous  $x, y \in \text{gr}(\mathfrak{g})$ ,

$$\begin{aligned}d_\circ(x, y) &= d(0, -x \circ y) && \text{(inv. à gauche)} \\ &\leq c | -x \circ y | && \text{(Guivarc'h)} \\ &\leq c | -x \star y | + c | (-x \star y) - (-x \circ y) | && \text{(inég. } \triangle) \\ &\leq c^2 d_\star(x, y) + O(|x|^\gamma \vee |y|^\gamma) && \text{(Guivarc'h + Goodman)}\end{aligned}$$

# SBE des groupes nilpotents

## Théorème (Cornulier)

Soient  $d_\circ$  et  $d_\star$  deux distances  $\circ$  et  $\star$ -invariantes, propres et géodésques sur  $\text{gr}(\mathfrak{g})$ . Alors  $\text{id} : (\text{gr}(\mathfrak{g}), \circ) \rightarrow (\text{gr}(\mathfrak{g}), \star)$  est  $O(r^\gamma)$ -SBE, avec  $\gamma$  explicite.

Ceci implique une variante du th. de Pansu en prenant pour  $d_\star$  une distance CC.

Pour tous  $x, y \in \text{gr}(\mathfrak{g})$ ,

$$\begin{aligned}d_\circ(x, y) &= d(0, -x \circ y) && \text{(inv. à gauche)} \\ &\leq c | -x \circ y | && \text{(Guivarc'h)} \\ &\leq c | -x \star y | + c | (-x \star y) - (-x \circ y) | && \text{(inég. } \triangle) \\ &\leq c^2 d_\star(x, y) + O(|x|^\gamma \vee |y|^\gamma) && \text{(Guivarc'h + Goodman)} \\ &\leq c^2 d_\star(x, y) + O(d_\star(0, x)^\gamma \vee d_\star(0, y)^\gamma),\end{aligned}$$

# SBE des groupes nilpotents

## Théorème (Cornulier)

Soient  $d_\circ$  et  $d_\star$  deux distances  $\circ$  et  $\star$ -invariantes, propres et géodésques sur  $\text{gr}(\mathfrak{g})$ . Alors  $\text{id} : (\text{gr}(\mathfrak{g}), \circ) \rightarrow (\text{gr}(\mathfrak{g}), \star)$  est  $O(r^\gamma)$ -SBE, avec  $\gamma$  explicite.

Ceci implique une variante du th. de Pansu en prenant pour  $d_\star$  une distance CC.

Pour tous  $x, y \in \text{gr}(\mathfrak{g})$ ,

$$\begin{aligned}d_\circ(x, y) &= d(0, -x \circ y) && \text{(inv. à gauche)} \\ &\leq c | -x \circ y | && \text{(Guivarc'h)} \\ &\leq c | -x \star y | + c | (-x \star y) - (-x \circ y) | && \text{(inég. } \triangle) \\ &\leq c^2 d_\star(x, y) + O(|x|^\gamma \vee |y|^\gamma) && \text{(Guivarc'h + Goodman)} \\ &\leq c^2 d_\star(x, y) + O(d_\star(0, x)^\gamma \vee d_\star(0, y)^\gamma),\end{aligned}$$

et de même  $d_\star(x, y) \leq c^2 d_\circ(x, y) + O(|x|^\gamma \vee |y|^\gamma)$ .

# $S_1$ et $S'$ sont sous-linéairement bilipschitz-équivalents

## Observation (Cornulier)

$S_1$  et  $S'$  sont SBE.

# $S_1$ et $S'$ sont sous-linéairement bilipschitz-équivalents

## Observation (Cornulier)

$S_1$  et  $S'$  sont SBE.

Plongeons  $S_1$  et  $S'$  dans  $GL_3(\mathbf{R})$ , soit  $\psi : G_1 \rightarrow G_2$

$$g = \begin{pmatrix} e^t & 0 & x \\ 0 & e^t & y \\ 0 & 0 & 1 \end{pmatrix} \xrightarrow{\psi} \begin{pmatrix} e^t & te^t & x \\ 0 & e^t & y \\ 0 & 0 & 1 \end{pmatrix}$$

Sur  $S_1$  et  $S'$ , il existe  $d_1$  (resp.  $d_2$ ) invariantes à gauche avec  $\exists K_1, K' > 0$

$$|t| + K_1^{-1} \log^+ \|(x, y)\| \leq d_1(e, (x, y, t)) \leq |t| + K_1 \log^+ \|(x, y)\|.$$

$$|t| + K'^{-1} \log^+ \|(x, y)\| \leq d'(e, (x, y, t)) \leq |t| + K' \log^+ \|(x, y)\|.$$

## $S_1$ et $S'$ sont SBE - suite

Soient  $g, h$  dans  $S_1$ . Calculons  $d'(\psi(g)^{-1}\psi(h))$  :

$$\begin{aligned}\psi(g)^{-1}\psi(g') &= \begin{pmatrix} e^{-t_g} & -te^{-t_g} & -xe^{-t_g} + tye^{-t_g} \\ 0 & e^{-t_g} & -e^{-t_g}y \\ 0 & 0 & 1 \end{pmatrix} \begin{pmatrix} e^{t_h} & t_h e^{t_h} & x_h \\ 0 & e^{t_h} & y_h \\ 0 & 0 & 1 \end{pmatrix} \\ &= \begin{pmatrix} e^{t_h-t_g} & (t_h - t_g)e^{t_h-t_g} & e^{-t_g}(x_h - x_g) - t_g e^{-t_g}(y_h - y_g) \\ 0 & e^{t_h-t_g} & e^{-t_g}(y_h - y_g) \\ 0 & 0 & 1 \end{pmatrix}\end{aligned}$$

## $S_1$ et $S'$ sont SBE - suite

Soient  $g, h$  dans  $S_1$ . Calculons  $d'(\psi(g)^{-1}\psi(h))$  :

$$\begin{aligned}\psi(g)^{-1}\psi(g') &= \begin{pmatrix} e^{-t_g} & -te^{-t_g} & -xe^{-t_g} + tye^{-t_g} \\ 0 & e^{-t_g} & -e^{-t_g}y \\ 0 & 0 & 1 \end{pmatrix} \begin{pmatrix} e^{t_h} & t_h e^{t_h} & x_h \\ 0 & e^{t_h} & y_h \\ 0 & 0 & 1 \end{pmatrix} \\ &= \begin{pmatrix} e^{t_h-t_g} & (t_h - t_g)e^{t_h-t_g} & e^{-t_g}(x_h - x_g) - t_g e^{-t_g}(y_h - y_g) \\ 0 & e^{t_h-t_g} & e^{-t_g}(y_h - y_g) \\ 0 & 0 & 1 \end{pmatrix}\end{aligned}$$

Donc  $d'(\psi(g), \psi(h)) \leq d_1(g, h) + C \log^+(|g| \vee |h|)$  pour un certain  $C > 0$ . De même  $d'(\psi(g), \psi(h)) \geq d_1(g, h) - C \log^+(|g| \vee |h|)$ .